# Лазеры: общие принципы

И.И. Рябцев

В.И.Тельнов, Лекции по современной экспериментальной физике Новосибирский Государственный университет



# Институт физики полупроводников СО РАН Новосибирский государственный университет

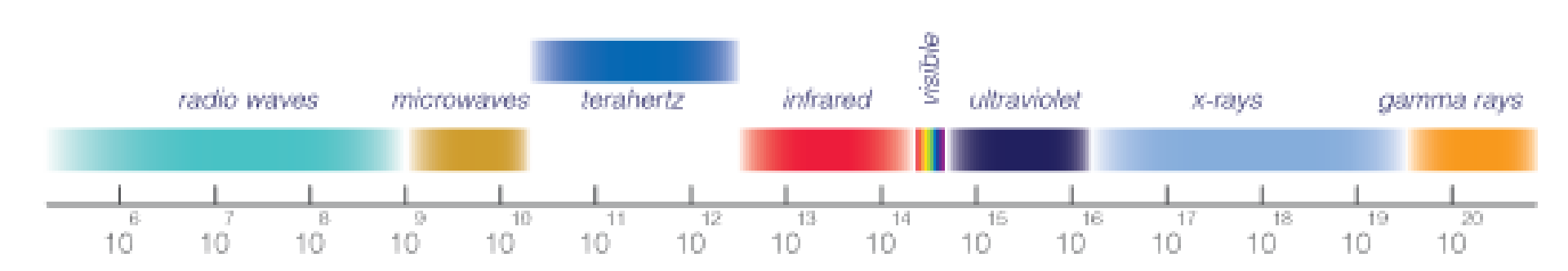
И.И.Рябцев

ФИЗИКА ЛАЗЕРОВ (обзорная лекция)

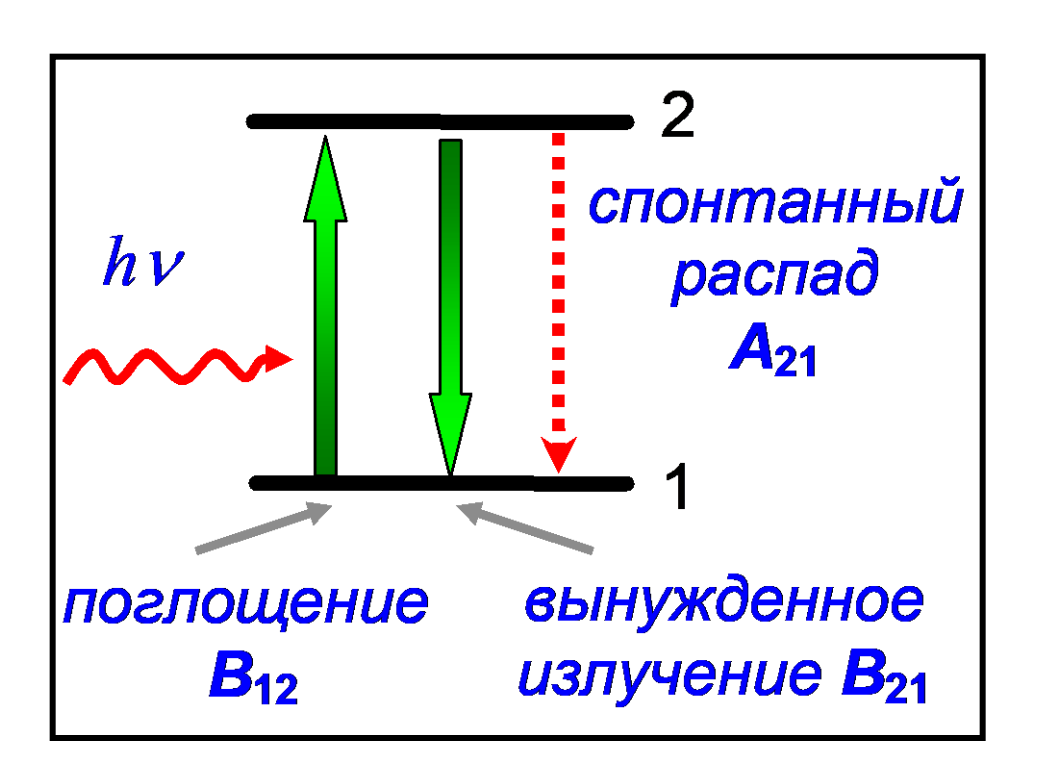
# ЛАЗЕРЫ

# Light Amplification by Stimulated Emission of Radiation

- 1916 A.Enstein постулат о вынужденном испускании света
- <u>1939</u> В.А.Фабрикант предложение по усилению света
- 1953 C.H.Townes импульсный мазер на аммиаке
- 1954 Н.Г.Басов, А.М.Прохоров непрерывный мазер на аммиаке
- 1958 А.М.Прохоров предложение по открытому резонатору
- <u>1960</u> *Th.Maiman* импульсный твердотельный рубиновый лазер
- <u>1961</u> *A.Javan, W.Bennett, D.Herriot* непрерывный He-Ne лазер



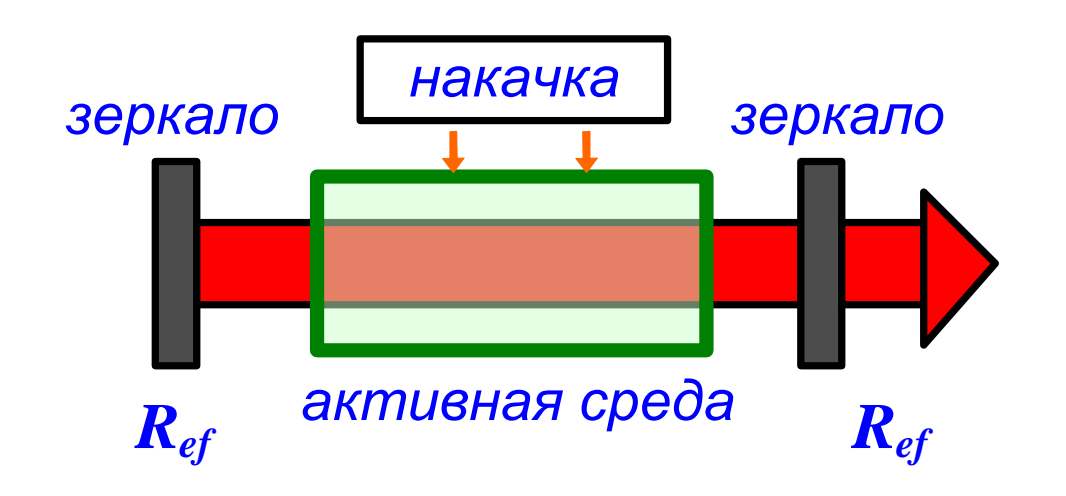
## ПРИНЦИП УСИЛЕНИЯ СВЕТА



$$\alpha_{v} = \frac{\lambda^{2}}{4} A_{21} (N_{2} - \frac{g_{2}}{g_{1}} N_{1})$$

$$N_2 > \frac{g_2}{g_1} N_1$$
 инверсия населенностей

# ОПТИЧЕСКИЙ КВАНТОВЫЙ ГЕНЕРАТОР (ЛАЗЕР)



Условие генерации (самовозбуждения)

$$R_{ef}^2 \exp(2\alpha_{\rm v}L) \ge 1$$

 превышение усиления над потерями за обход

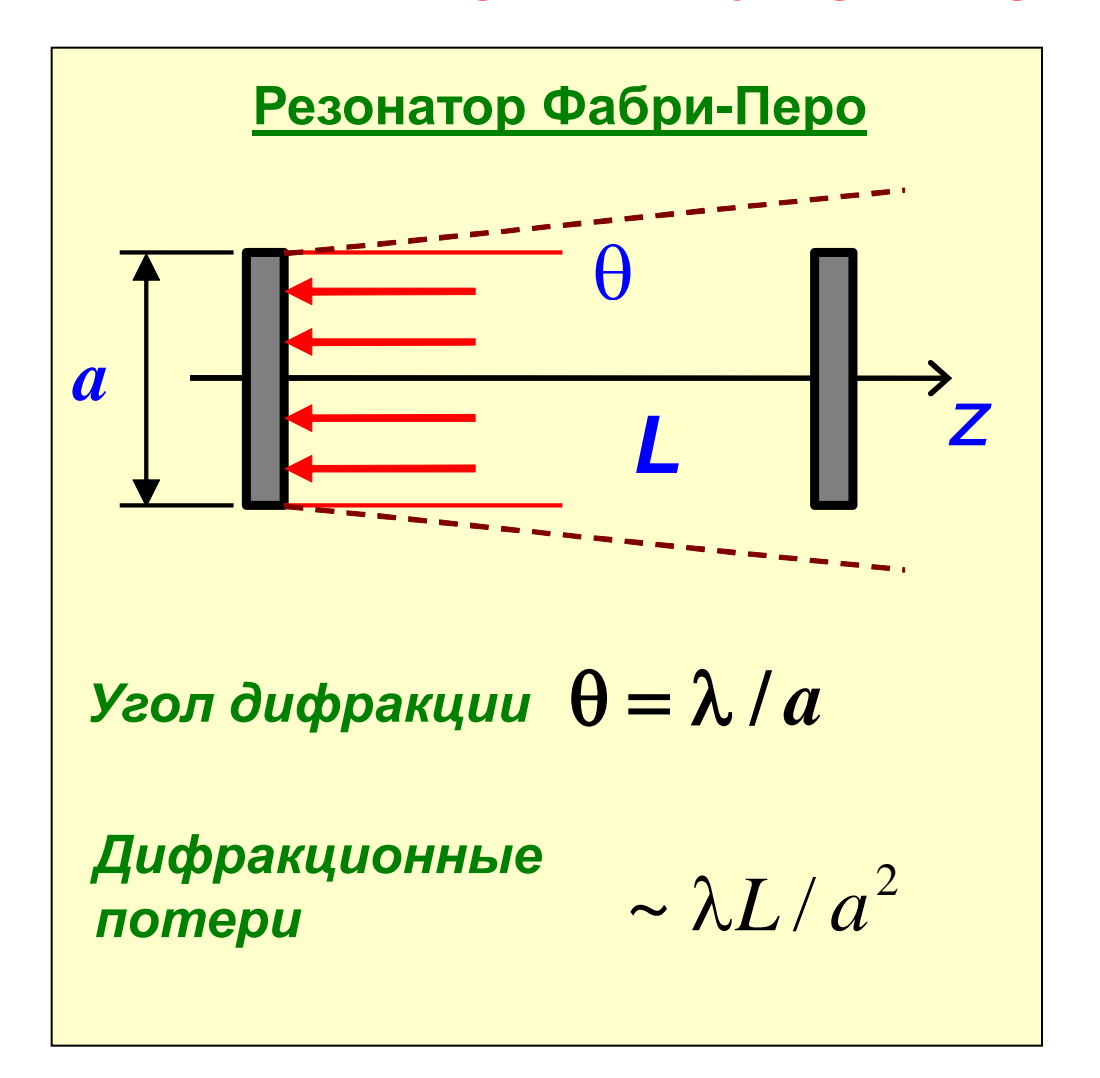
Насыщение усиления

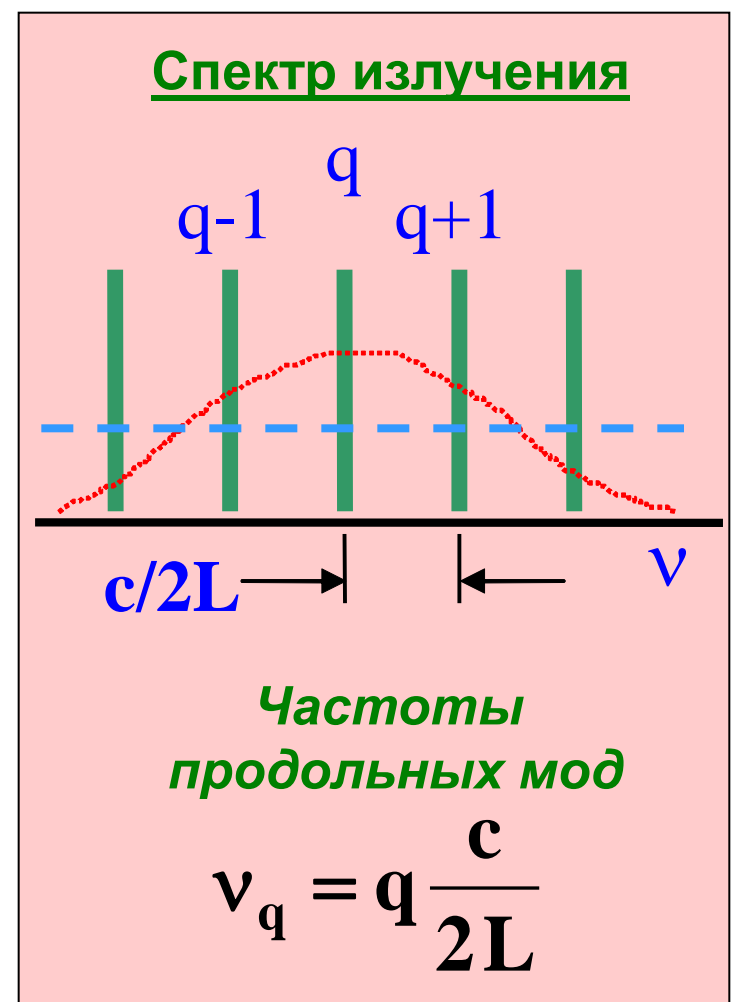
$$\alpha_{\nu}^{H} = \frac{\alpha_{\nu}^{0}}{1 + P/P_{H}}$$

Мощность генерации

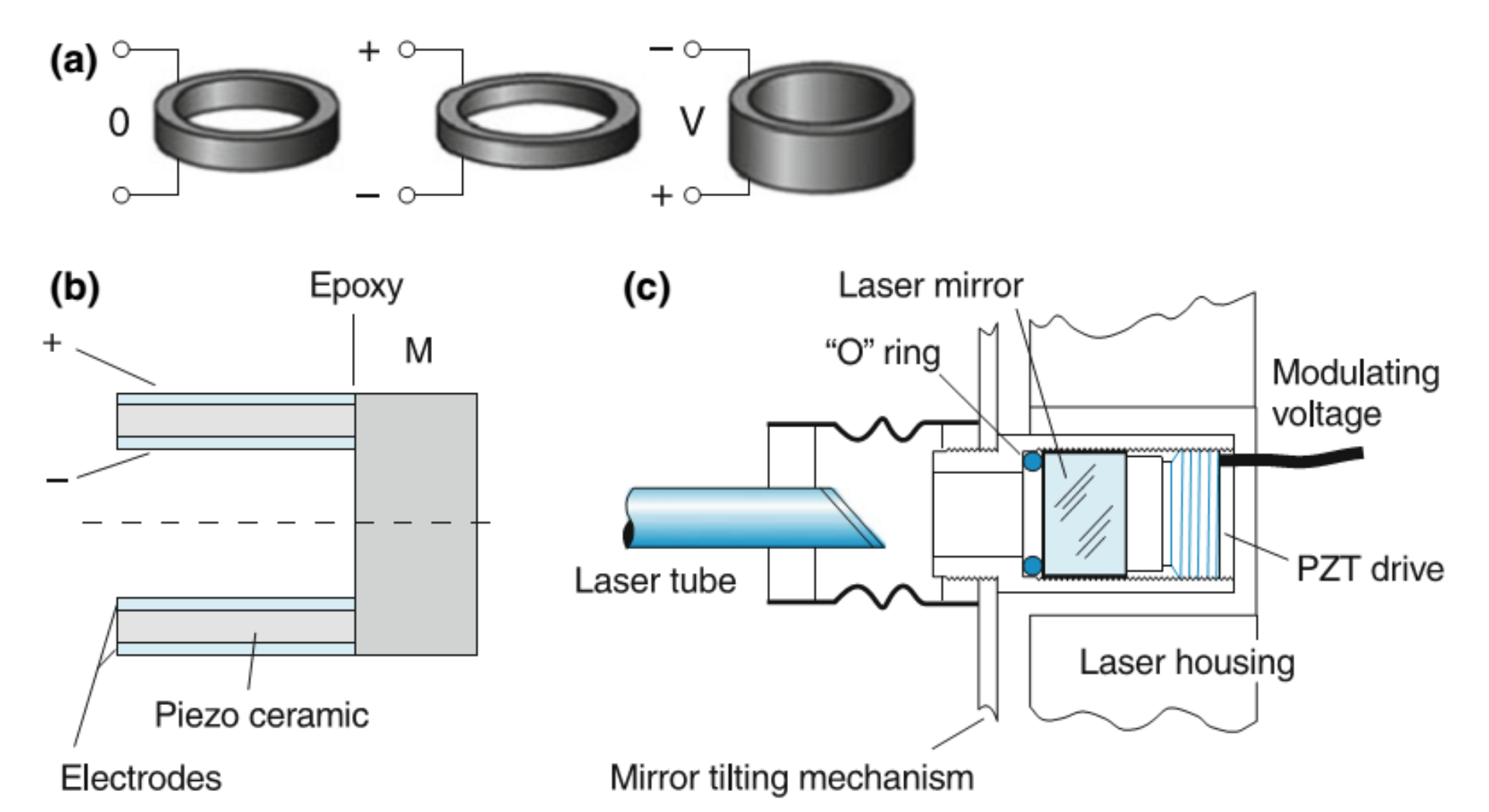
$$P_{\Gamma} = P_{H} \left( \frac{\alpha_{\nu}^{0} L}{1 - R_{ef}} - 1 \right)$$

# ОТКРЫТЫЕ РЕЗОНАТОРЫ И СПЕКТР ЛАЗЕРНОГО ИЗЛУЧЕНИЯ

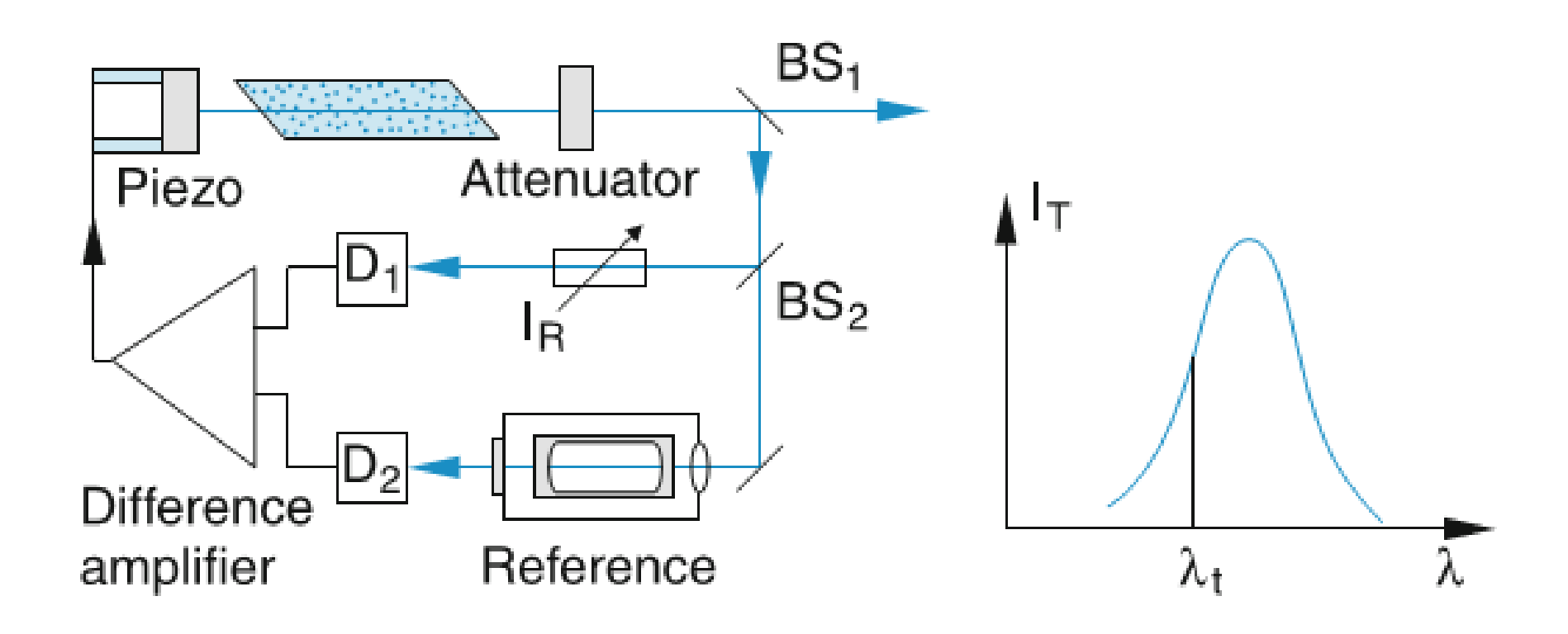




# Перестройка оптической частоты лазера с помощью зеркала на пьезоэлементе

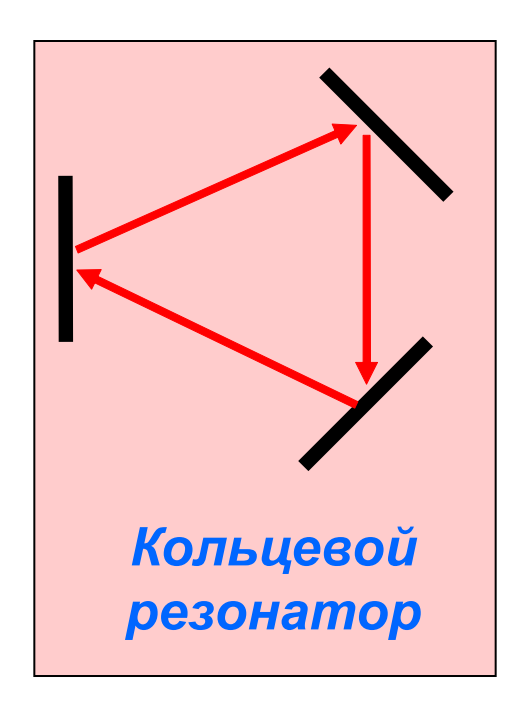


# Стабилизация частоты лазера путем привязки к интерферометру Фабри-Перо

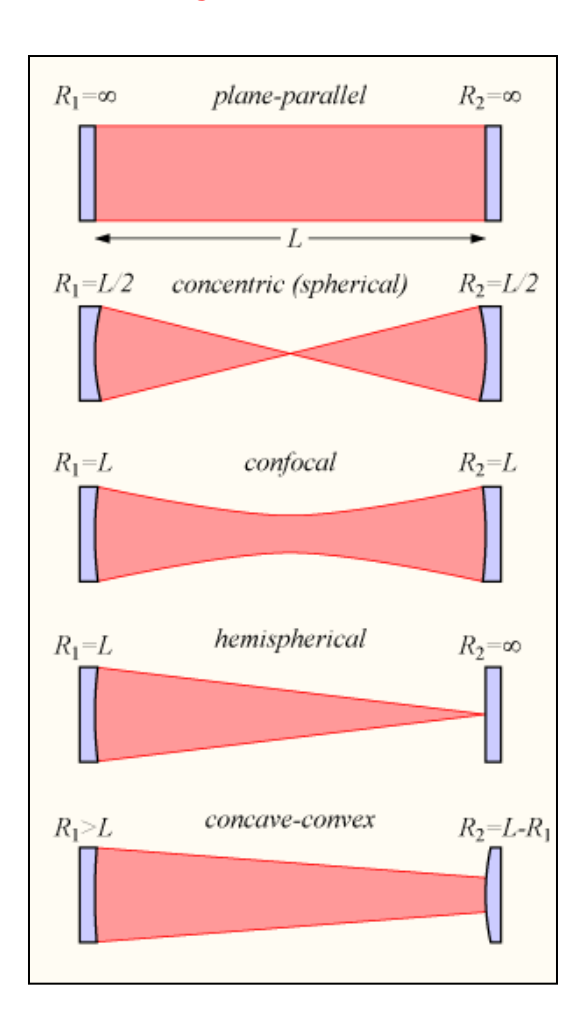


#### Типы резонаторов

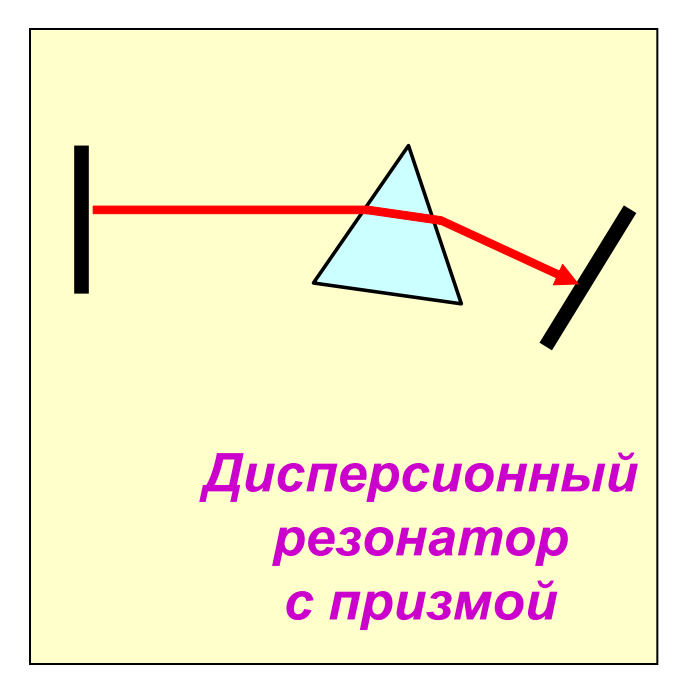
- 1. Линейные
- 2. Кольцевые



- 1'. Устойчивые
- 2'. Неустойчивые

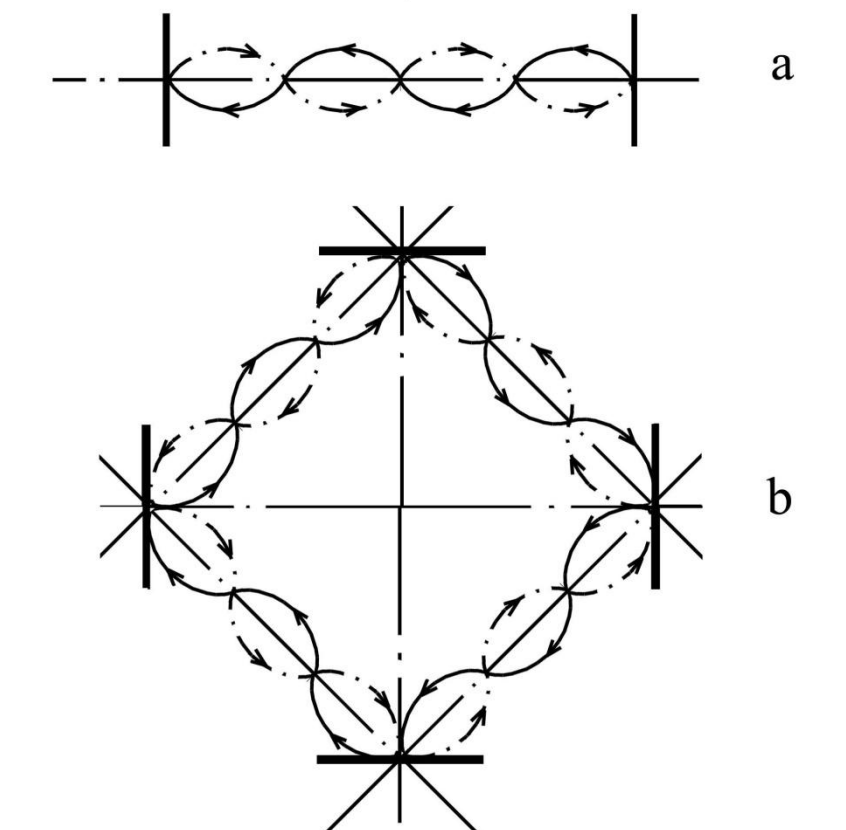


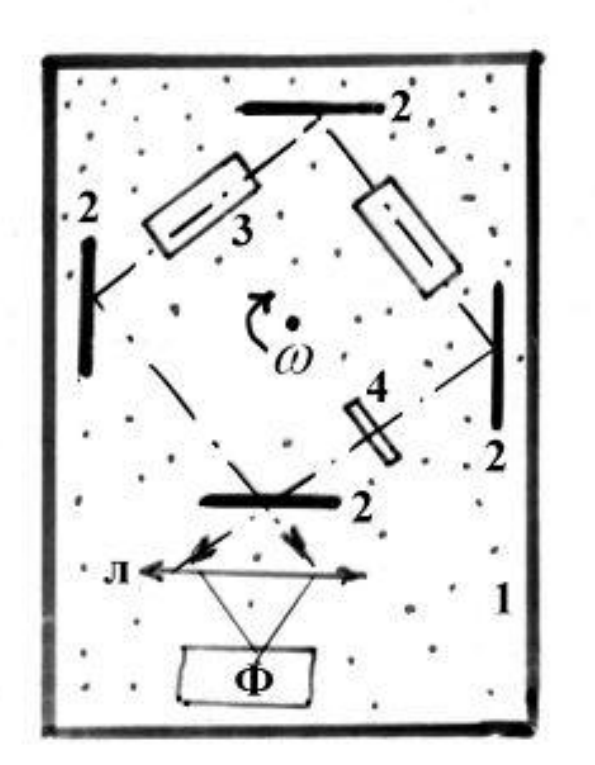
- 1". Широкополосные
- 2". Дисперсионные

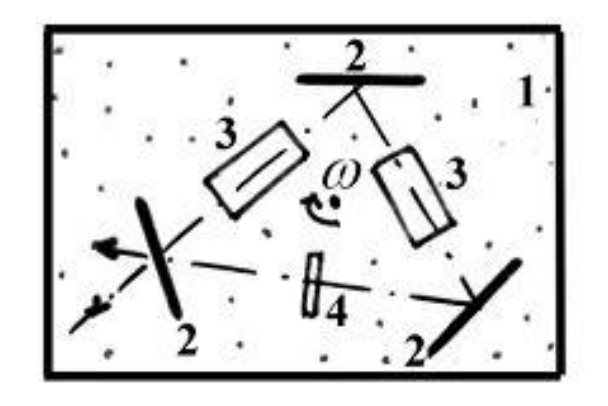


#### Линейные и кольцевые резонаторы

В линейном резонаторе образуется стоячая электромагнитная волна, стоящая вдоль оси резонатора. В кольцевом резонаторе образуются две бегущие волны, движущиеся друг другу навстречу.



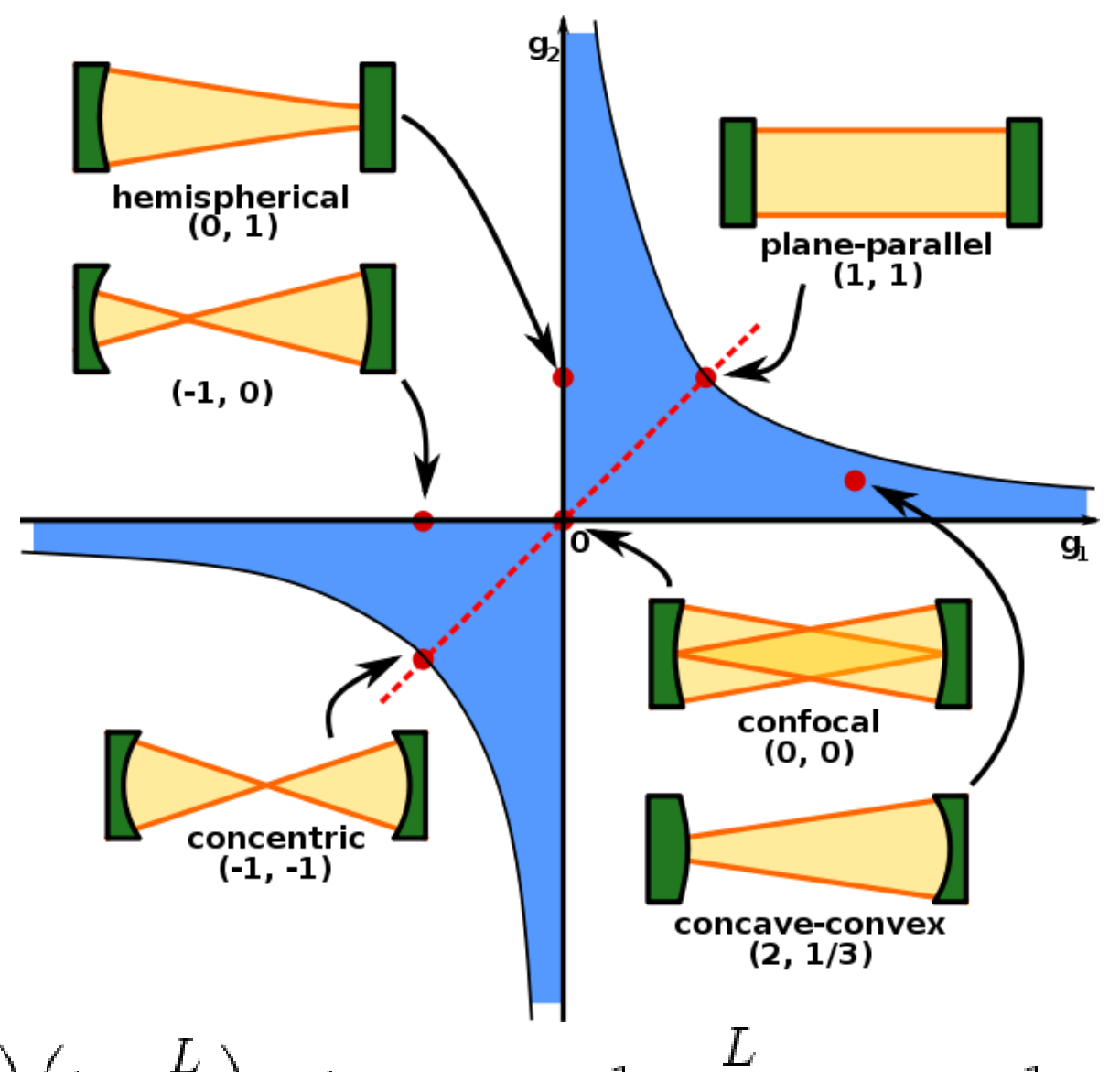




b

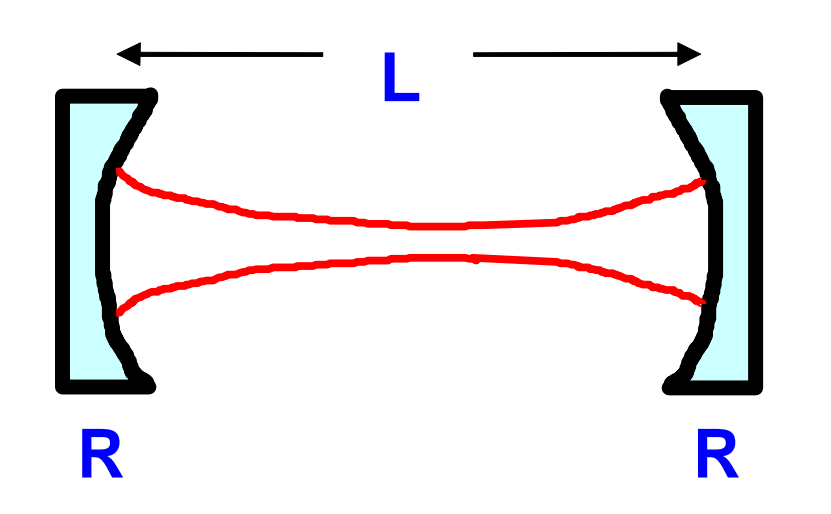
9

#### Области устойчивости линейных резонаторов



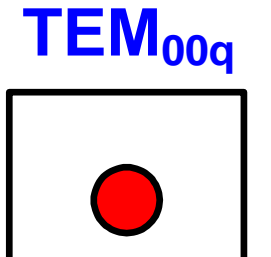
$$0 < \left(1 - \frac{L}{R_1}\right) \left(1 - \frac{L}{R_2}\right) < 1$$
  $g_1 = 1 - \frac{L}{R_1}$ ,  $g_2 = 1 - \frac{L}{R_2}$ 

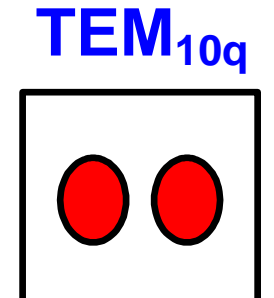
#### Резонаторы со сферическими зеркалами

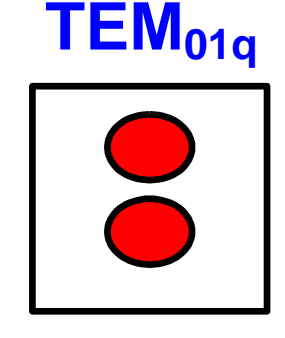


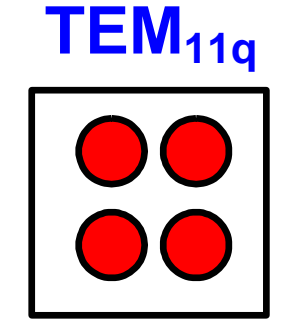
**L=2R** концентрический **L=R** конфокальный

**TEM<sub>mnq</sub>** моды поля







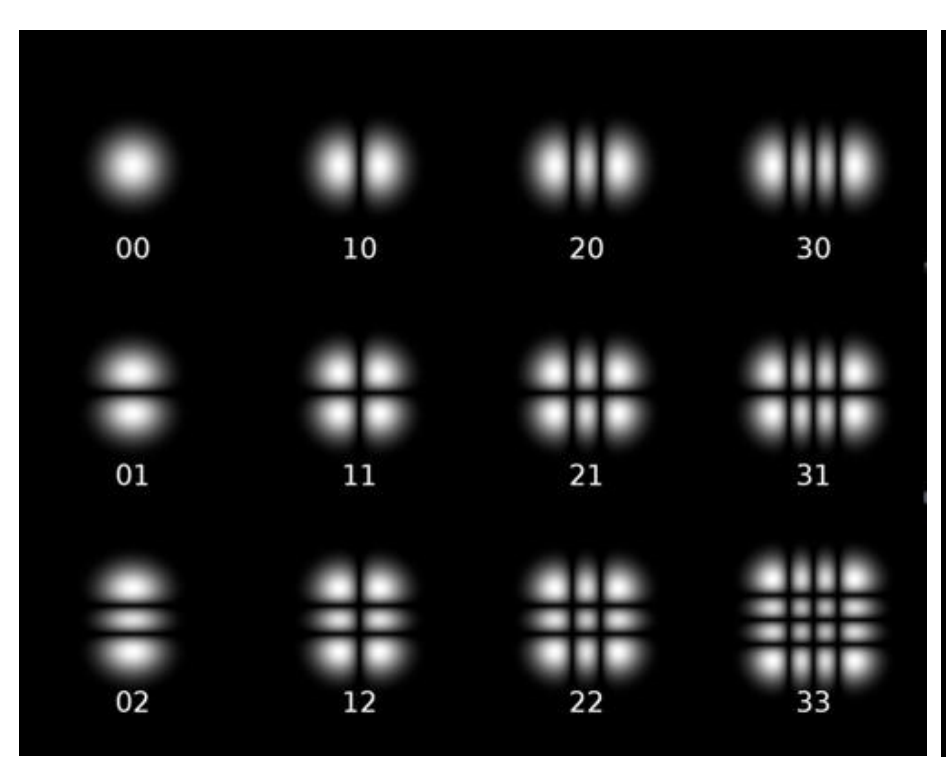


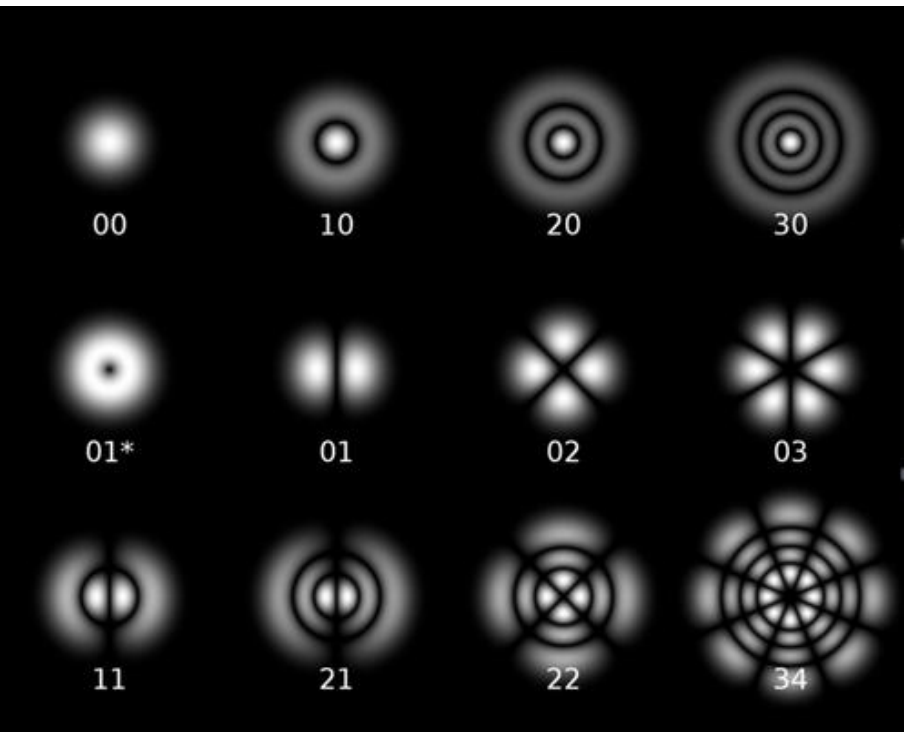
**ТЕМ<sub>00q</sub>** – Гауссов пучок с перетяжкой

$$w_0 = \sqrt{\frac{L\lambda}{2\pi}}$$

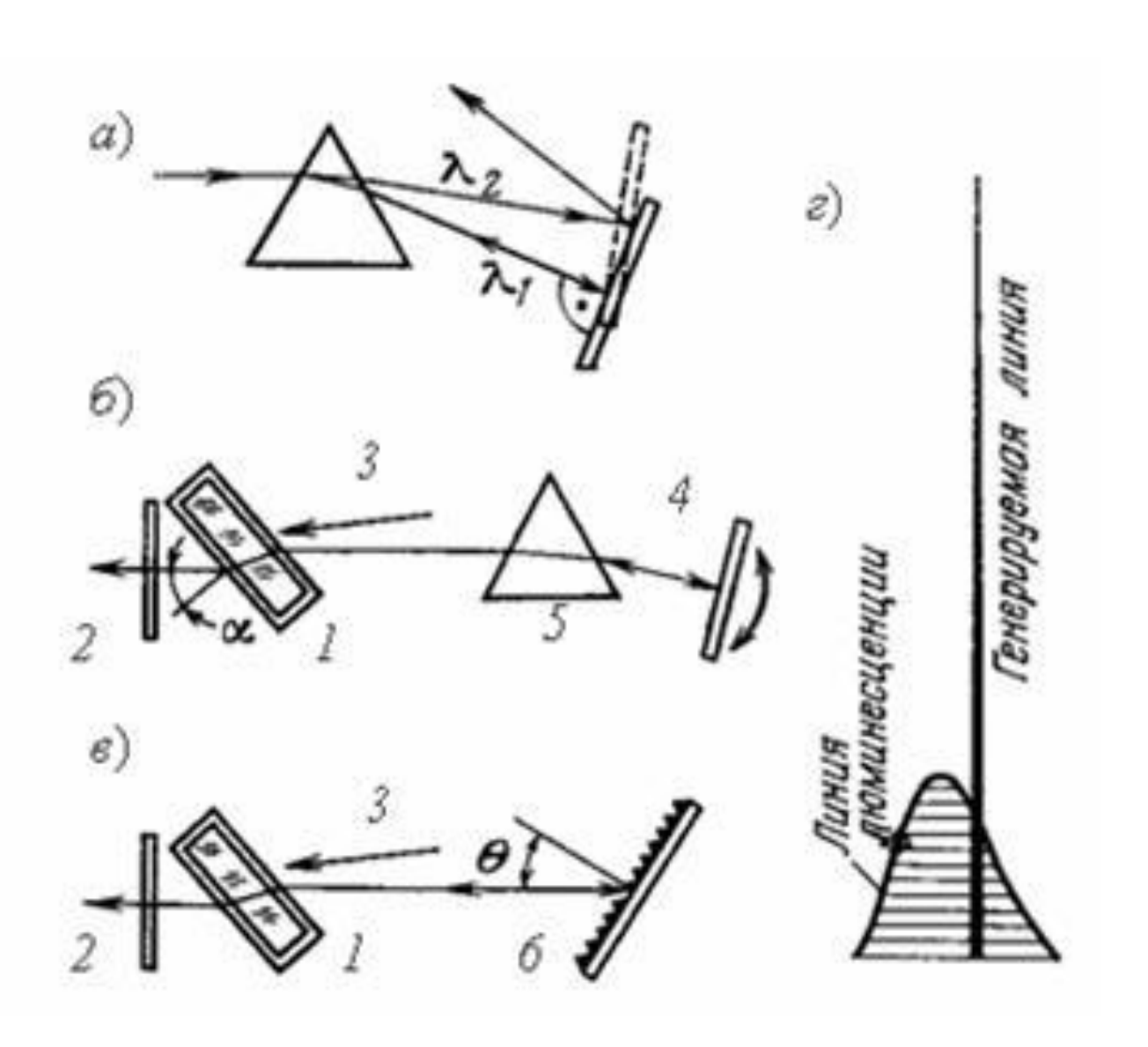
#### Поперечные моды резонатора с квадратными зеркалами

# <u>С круглыми зеркалами</u>





#### Резонаторы с дисперсионными элементами



Лазер на красителе с плавно перестраиваемой длиной волны:

1 – кювета
 с красителем;

2 – выходное зеркало резонатора;

3 – излучение накачки;

4 – поворачивающееся зеркало;

5 – призма;

6 – отражательная дифракционная решетка

#### ТИПЫ ЛАЗЕРОВ

- 1. Газовые лазеры
- 2. Твердотельные лазеры
- 3. Жидкостные лазеры
- 4. Плазменные лазеры
- 5. Рентгеновские лазеры
- 6. Лазеры с ядерной накачкой
- 7. Лазеры на свободных электронах

#### <u>Накачка</u>

- 1. Оптическая
- 2. Газовый разряд
- 3. Инжекция электронов
- 4. Химическая
- 5. Газодинамическая

He-Ne, CO<sub>2</sub>, N<sub>2</sub>, XeCl

Nd:YAG, Al<sub>2</sub>O<sub>3</sub>:Ti<sup>3+</sup>, AlGaAs

**Rhodamine 6G** 

**Ar**++, **Kr**++

#### Режим генерации

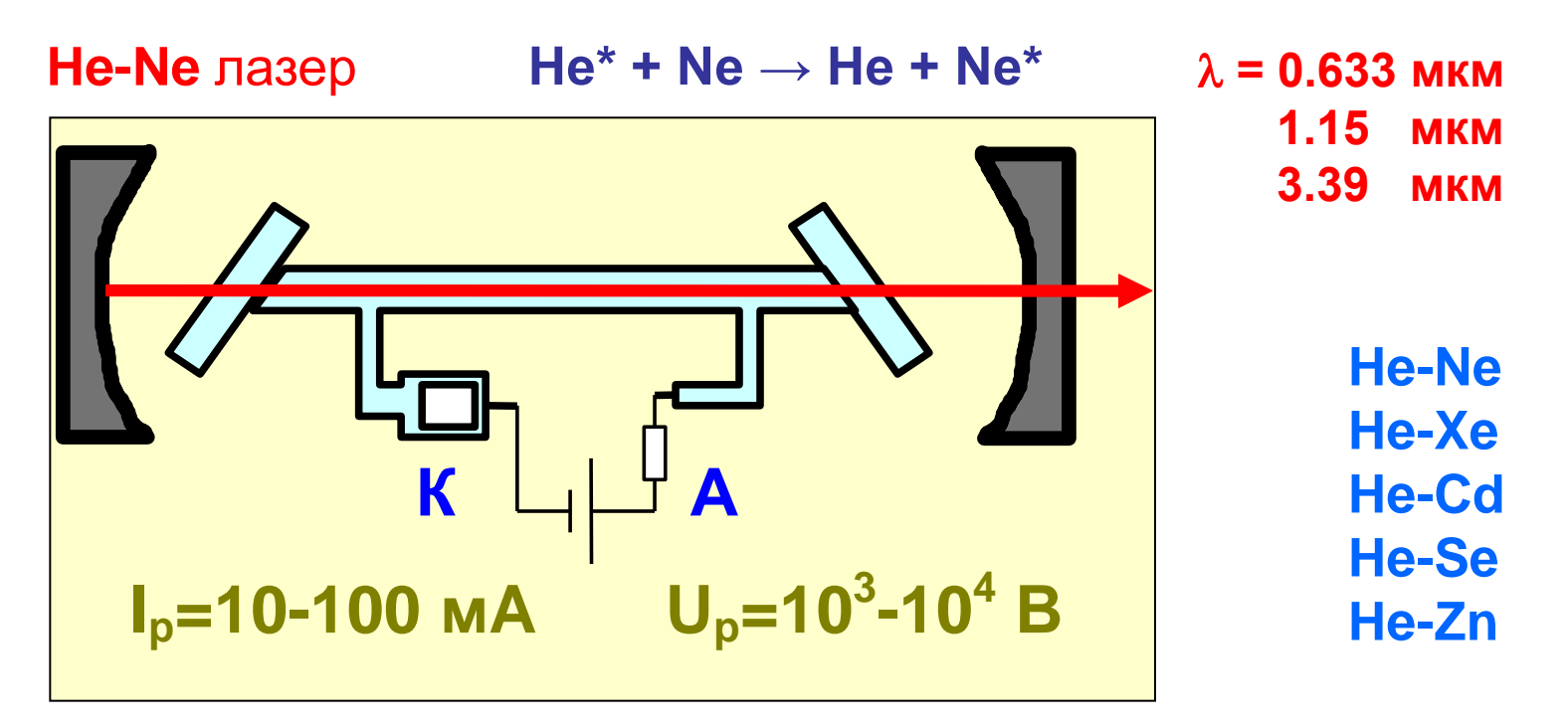
- 1. Непрерывный
- 2. Импульсный

# НЕПРЕРЫВНЫЕ ГАЗОРАЗРЯДНЫЕ ЛАЗЕРЫ НА ПЕРЕХОДАХ АТОМОВ И ИОНОВ

Активная среда - частично (тлеющий) или полностью (дуговой разряд) ионизованная плазма

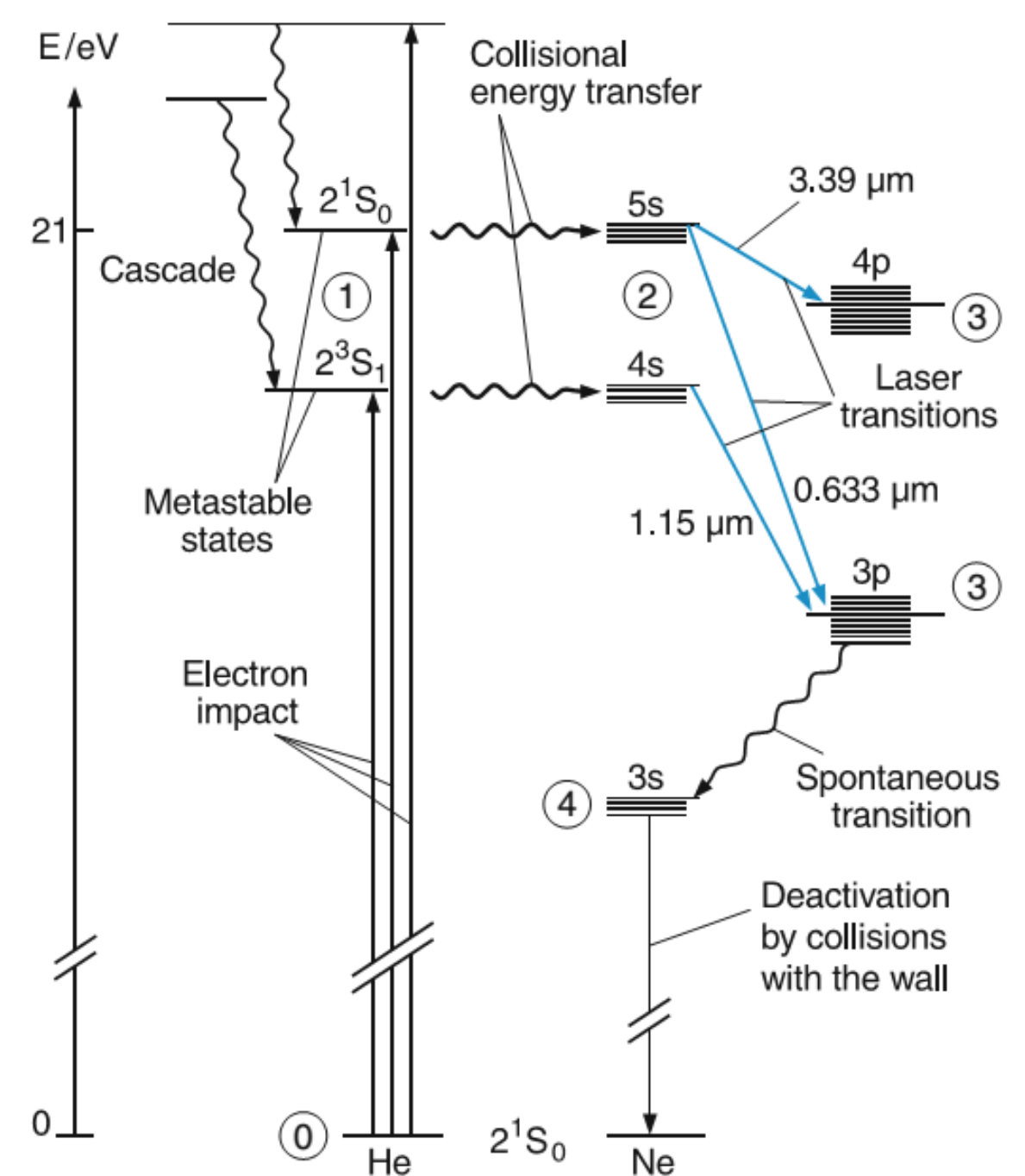
#### Инверсия населенностей

- 1. Атомные столкновения с передачей возбуждения
- 2. Селективное возбуждение электронным ударом



# **He-Ne** лазер

 $\lambda = 0.633 \text{ MKM}$ 1.15 MKM
3.39 MKM



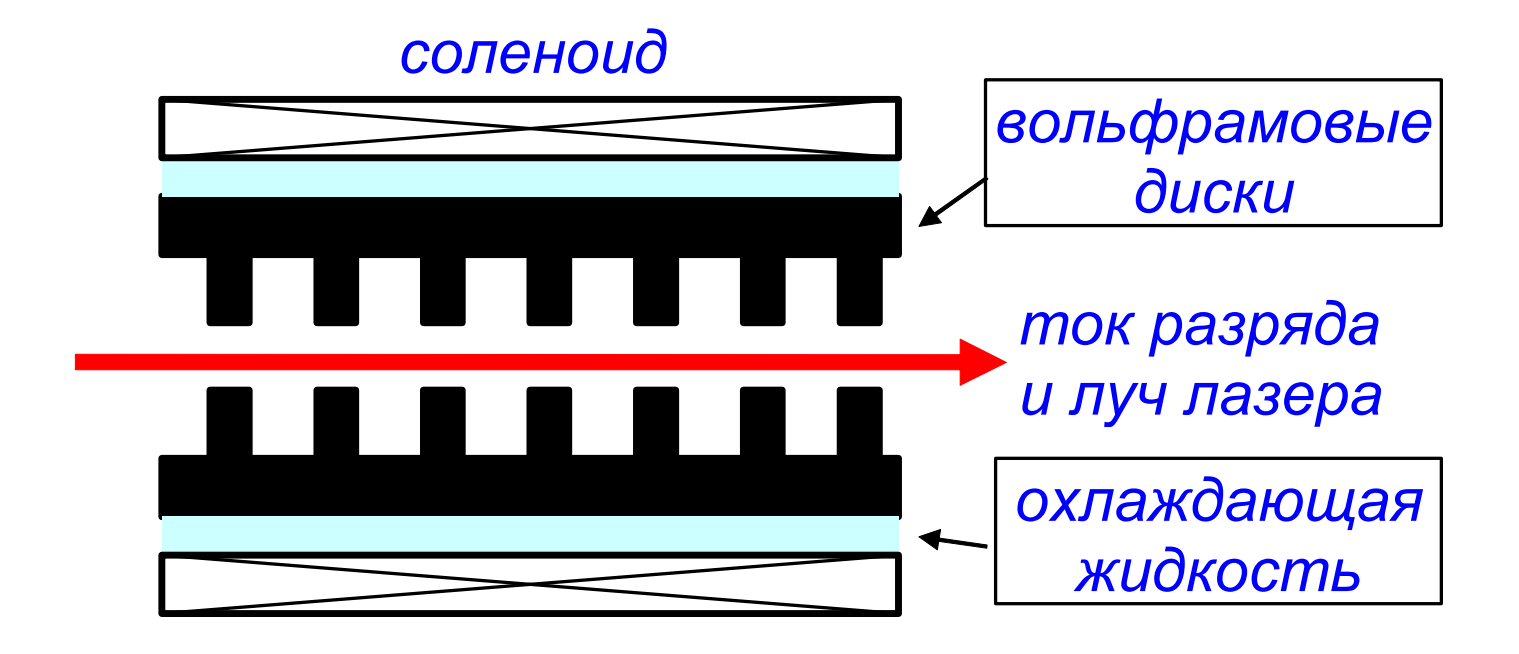
#### Мощные ионные лазеры

#### Дуговой разряд

 $I_{p} = 10-500 \text{ A}$ 

 $U_p = 300-500 B$ 

 $P_{\rm эл}$ =10-100 кВт



Аргоновый:

 $\lambda$ =514.5 HM, 488.0 HM

 $P_r = 5-500 \text{ BT}$ 

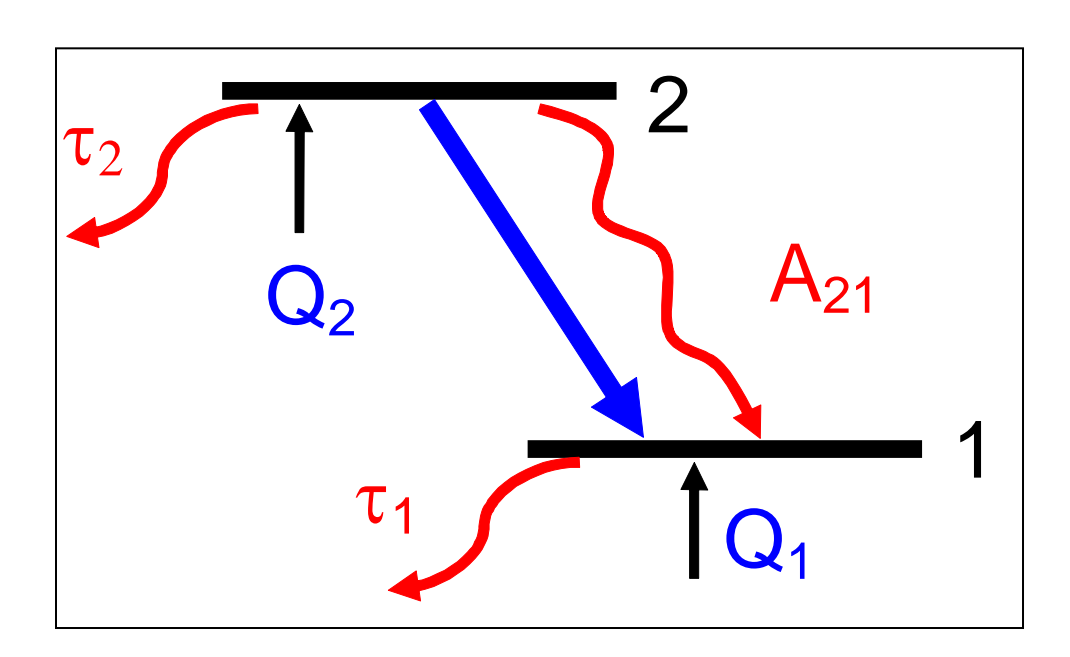
Криптоновый:

 $\lambda$ =647.1 HM

 $P_r = 1-10 \text{ BT}$ 

#### ИМПУЛЬСНЫЕ ГАЗОВЫЕ ЛАЗЕРЫ

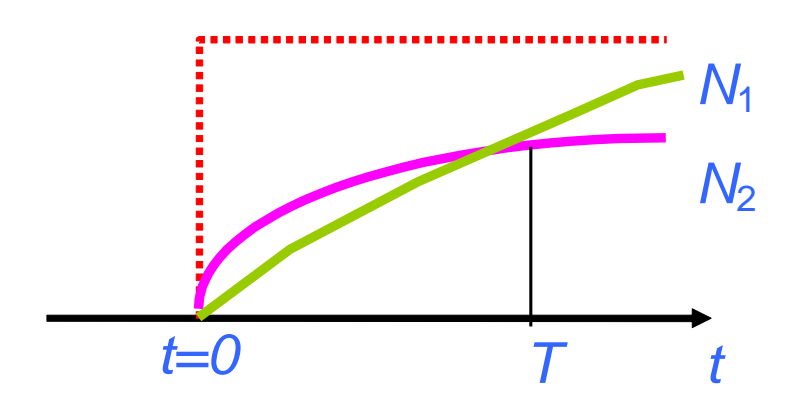
#### Нестационарный способ создания инверсии населенностей



$$\frac{dN_1}{dt} = Q_1 - \frac{N_1}{\tau_1} + N_2 A_{21}$$

$$\frac{dN_2}{dt} = Q_2 - \frac{N_2}{\tau_2} - N_2 A_{21}$$

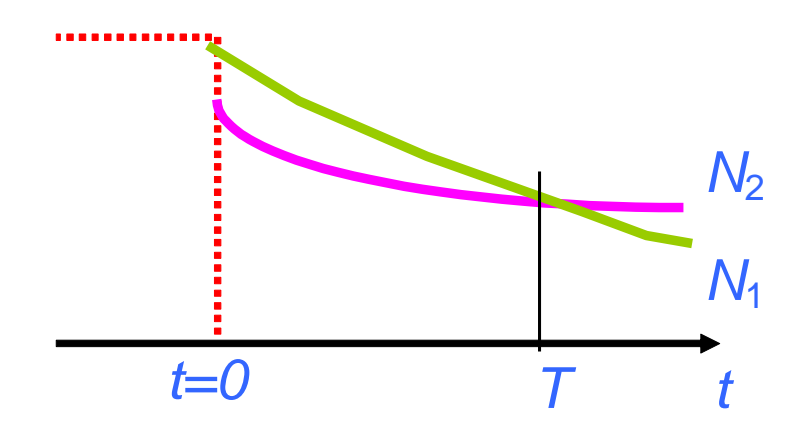
## Генерация <u>на переднем фронте</u> импульса возбуждения (лазеры на самоограниченных переходах).



Для  $Q_1 << Q_2$  инверсия возникает до момента времени

$$T \le 1/A_{21}$$

#### Генерация в послесвечении импульса возбуждения



$$T = \frac{\tau_1 \tau_2}{\tau_2 - \tau_1} \ln \left( \frac{Q_1 \tau_1}{Q_2 \tau_2} \right)$$

#### Основные типы импульсных газовых лазеров

Лазеры на парах металлов: Cu (P=2-200 Bт), Sr, Ba, Eu, Ca

Молекулярные лазеры:  $N_2$ ,  $H_2$ 

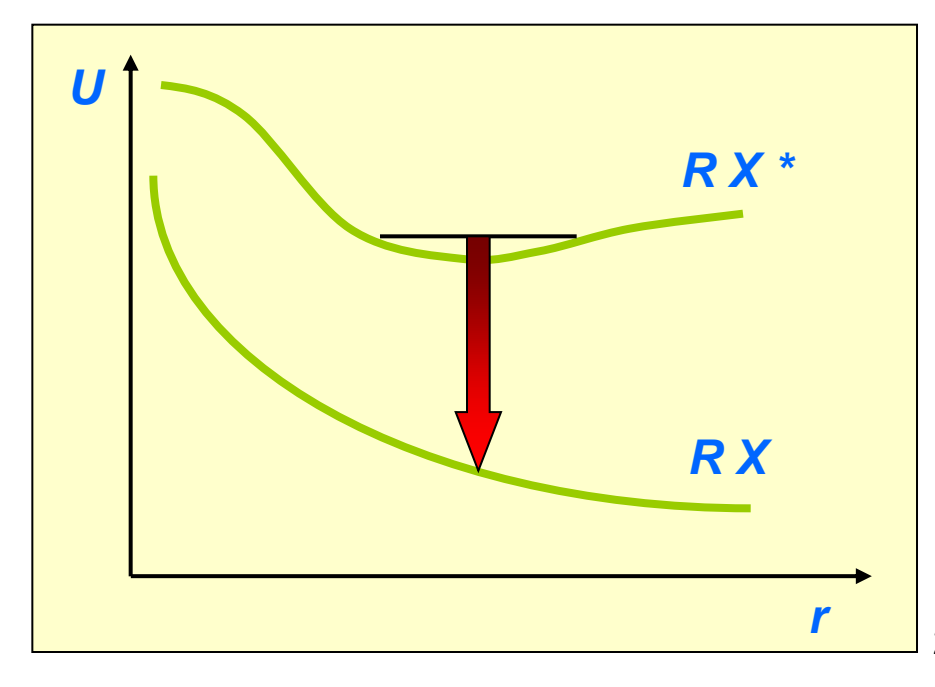
Эксимерные лазеры:

 $\lambda$ , HM 308 248 194

#### Гарпунная реакция

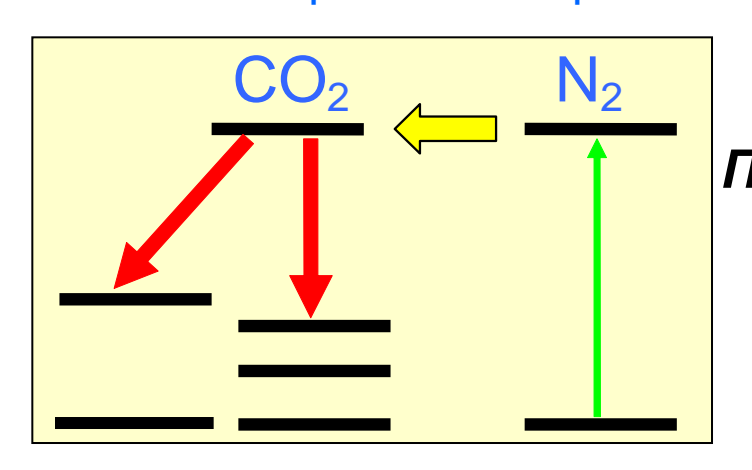
$$R^*+X\rightarrow R^++X^-\rightarrow (R^+X^-)^*$$

 $E \sim 150 \ Дж$   $P_{cp} \sim 200 \ BT$   $P_{имп} \sim 10^7 \ BT$ 



#### МОЛЕКУЛЯРНЫЕ ЛАЗЕРЫ

- 1.Лазеры на колебательно-вращательных переходах молекул в основном электронном состоянии
- 2. Лазеры на электрон-колебательных переходах



 $CO_2$ -лазер *C.Patel* (1964 г.) Полосы усиления

 $\lambda_0 = 10.6 \text{ MKM}$ 

 $\lambda_0 = 9.6 \text{ MKM}$ 

Р<sub>ген</sub> до 10 кВт

Mолекулы  $CO_2$ , CO,  $N_2O$ ,  $H_2O$ , HCN

3. Молекулярные лазеры субмиллиметрового диапазона с ИК-накачкой.

#### Молекулы

CH<sub>3</sub>F 496 MKM CH<sub>3</sub>OH 570.5 MKM

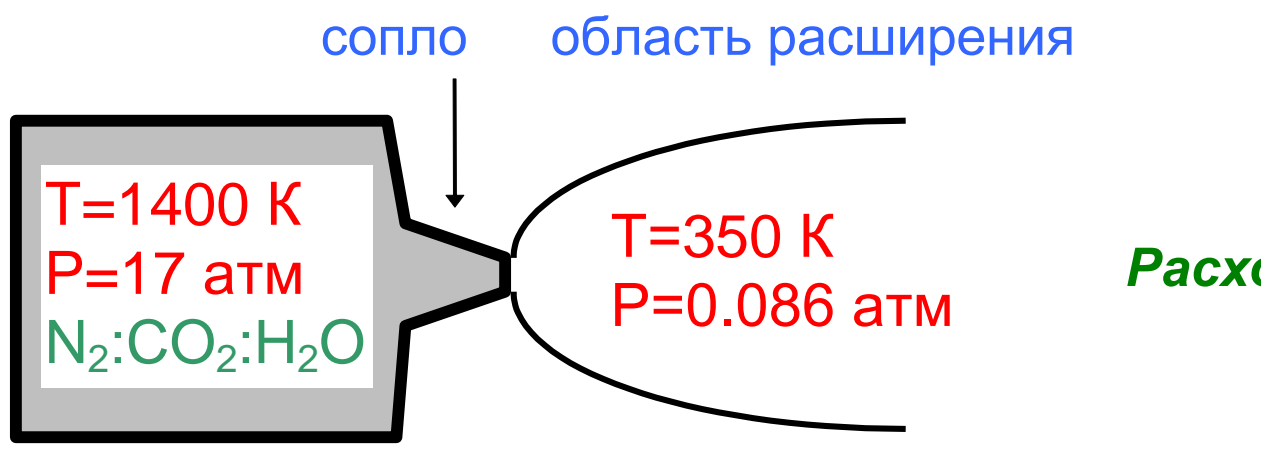
**1.8 MM** 

H<sub>2</sub>C:CHCI 634 MKM

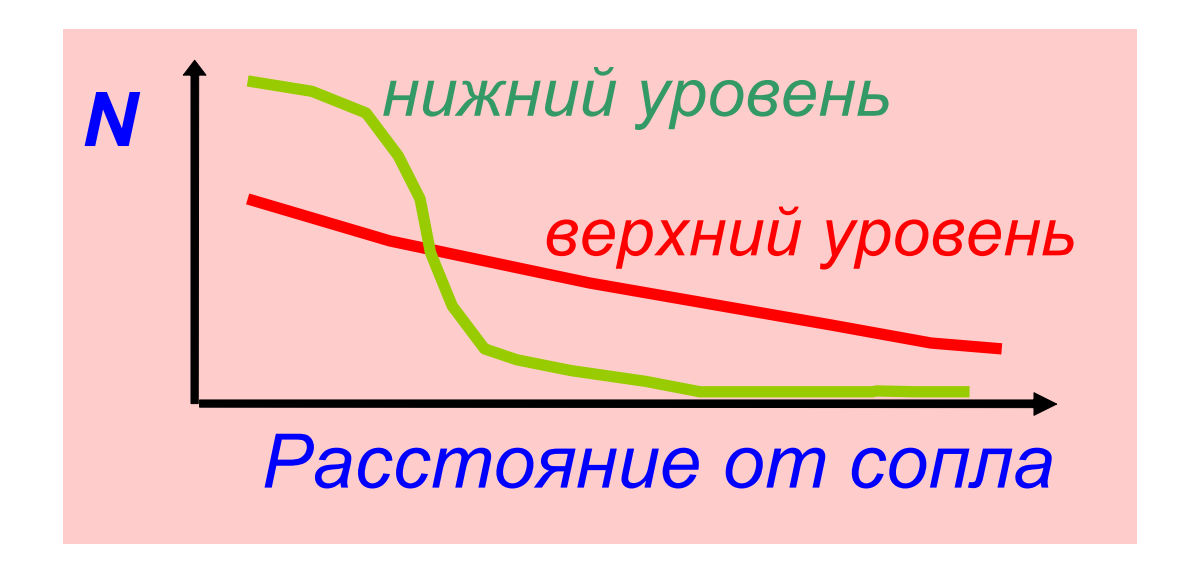
 $\lambda = 12.5 - 2000$  MKM



# ГАЗОДИНАМИЧЕСКИЙ СО2 ЛАЗЕР



Расход смеси 10 кг/с



P<sub>r</sub> ~ 100 κBm

#### ХИМИЧЕСКИЕ ЛАЗЕРЫ

#### Инверсия населенностей при цепных химических реакциях

$$H_2+F_2 \rightarrow 2HF^*$$

#### Способы возбуждения

фотолиз  $F_2 + h\nu \rightarrow 2F$ 

электронный удар  $F_2+e \rightarrow 2F+e'$ 

Необходима быстрая прокачка для удаления НГ в основном состоянии и введения реагентов в зону усиления.

HF-лазер  $\lambda$ =2.7 мкм DF-лазер  $\lambda$ =3.7 мкм HBr, HCl, CO

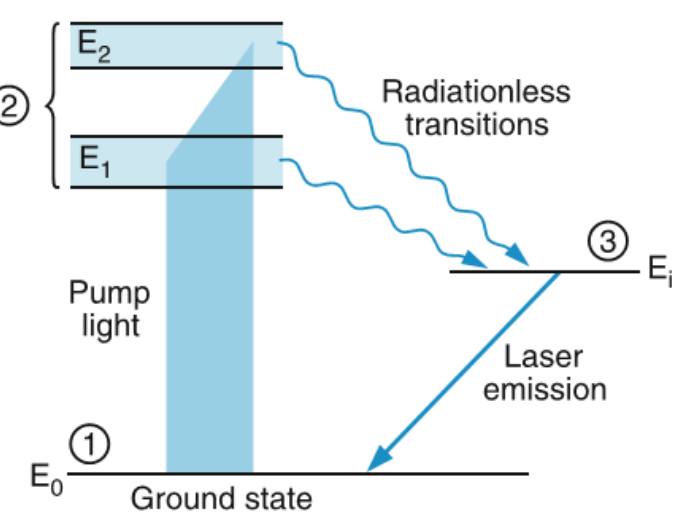
Прямой химический лазер:  $D_2+F_2\rightarrow 2DF^*$ 

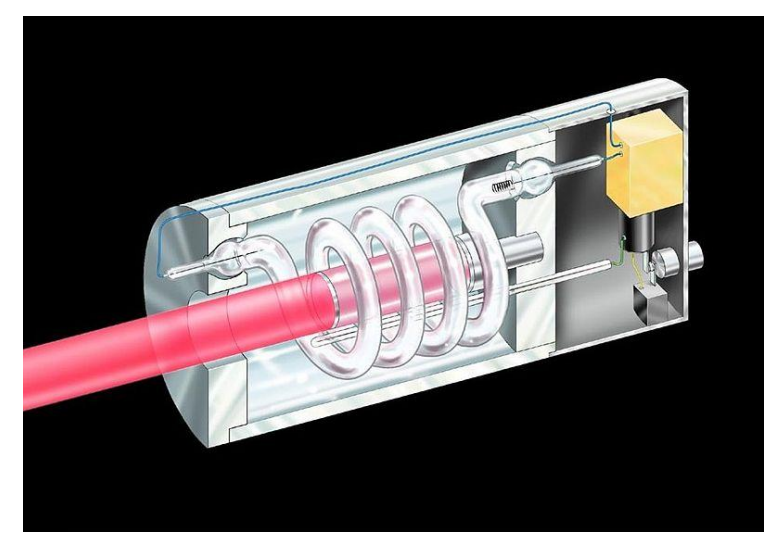
С передачей возбуждения:  $D_2+F_2+2CO_2\rightarrow 2DF^*+2CO_2\rightarrow 2DF+2CO_2^*$ 

MIRACL  $P_r \sim 400 \text{ kBt}$  70 cek 1978 r.

# ТВЕРДОТЕЛЬНЫЕ ЛАЗЕРЫ НА ИОННЫХ КРИСТАЛЛАХ

1960 Th.Maiman рубиновый лазер Al<sub>2</sub>O<sub>3</sub>:Cr<sup>3+</sup>





#### Активный элемент:

1. Диэлектрическая матрица - кристалл, стекло.

 $Al_2O_3$  - сапфир  $CaWO_4$  - вольфрамат  $CaMoO_4$  - молибдат  $Me_3Yt_5O_{12}$  - гранаты

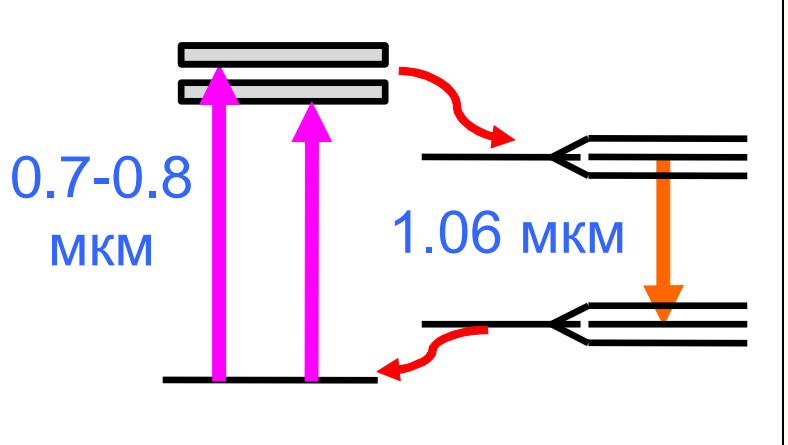
2. Активатор - примесный ион

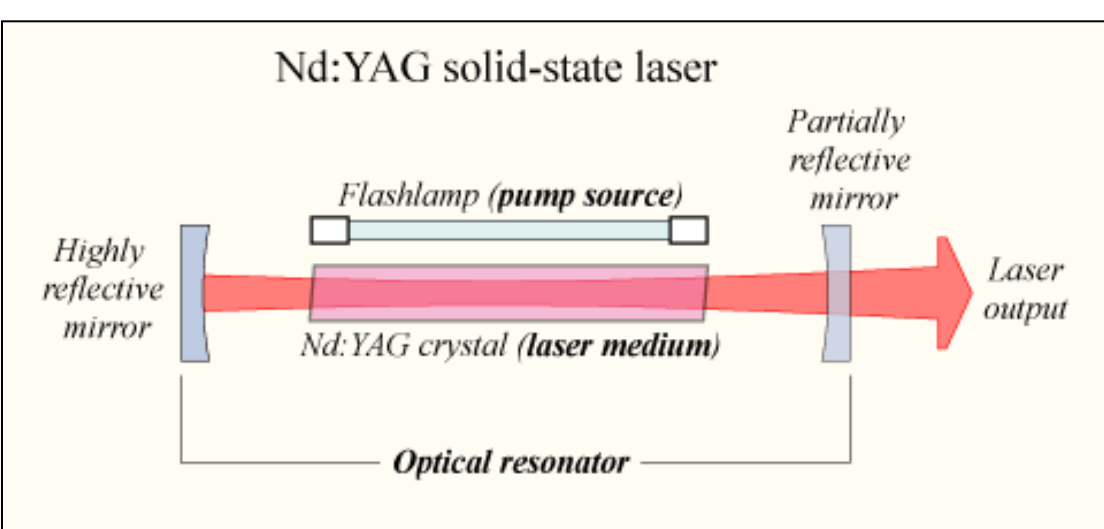
Cr<sup>3+</sup>, Nd<sup>3+</sup>, Er<sup>2+</sup>, Eu<sup>3+</sup>, Ti<sup>3+</sup>, Ni<sup>3+</sup>

#### **Метод возбуждения** - оптическая накачка

- 1. Ксеноновые лампы высокого давления
- 2. Полупроводниковые AlGaAs лазеры
- 3. Твердотельные лазеры

# YAG:Nd<sup>3+</sup> лазер

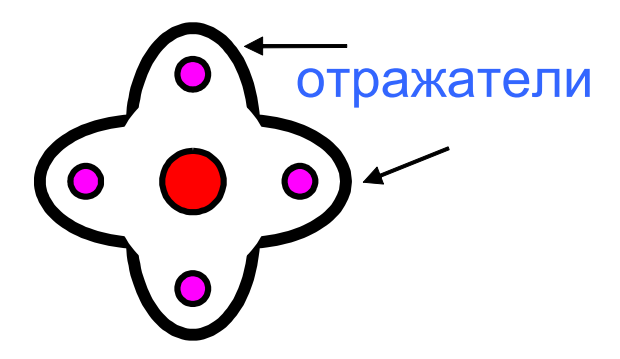




#### Параметры:

Е<sub>имп</sub> ~ 100 кДж

Р<sub>ср</sub> ~ 500 Вт



# ДИНАМИКА ГЕНЕРАЦИИ ТВЕРДОТЕЛЬНЫХ ЛАЗЕРОВ

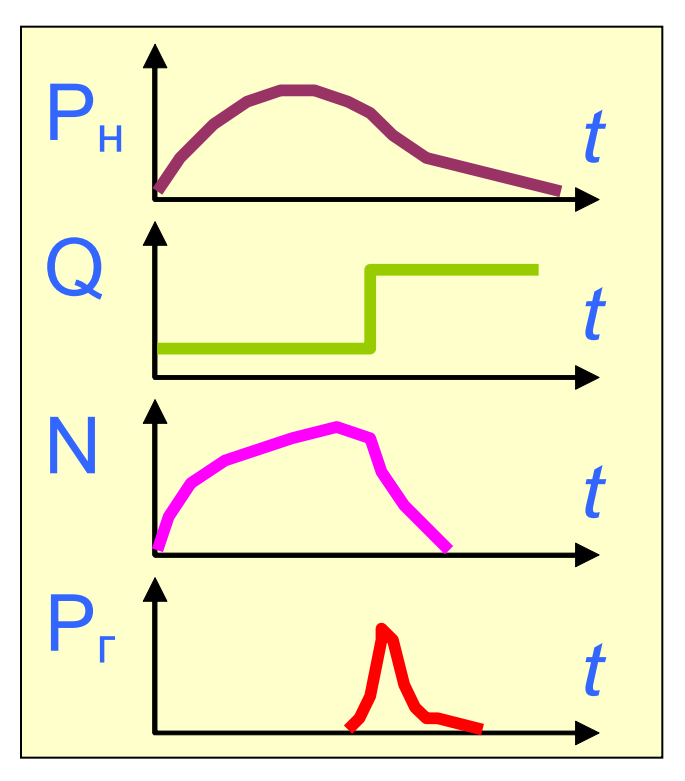
<u>Долгоживущие возбужденные состояния</u> - время накопления инверсии **T**<sub>0</sub> сравнимо с временем установления поля в резонаторе **T**<sub>уст</sub>

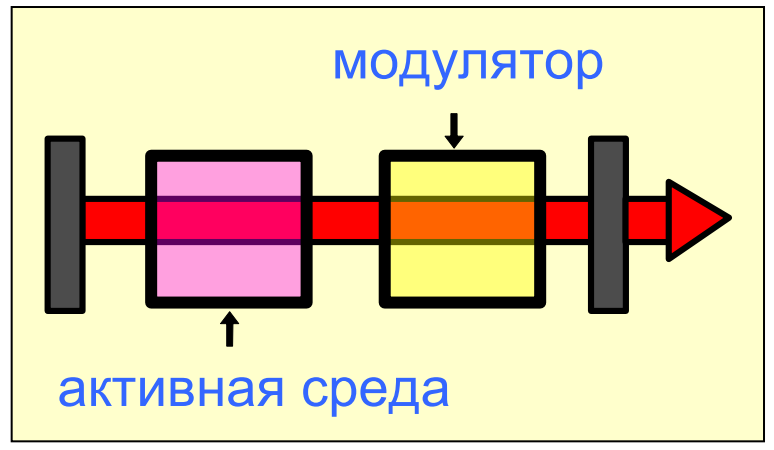
#### Режимы генерации:

#### 1. Свободная генерация

- а) регулярные затухающие ( $T_{yct} < T_0$ ) и незатухающие ( $T_{vct} > T_0$ ) пульсации
- б) пичковый режим (при флуктуациях параметров)

#### 2. Генерация в режиме модулированной добротности (гигантские импульсы)

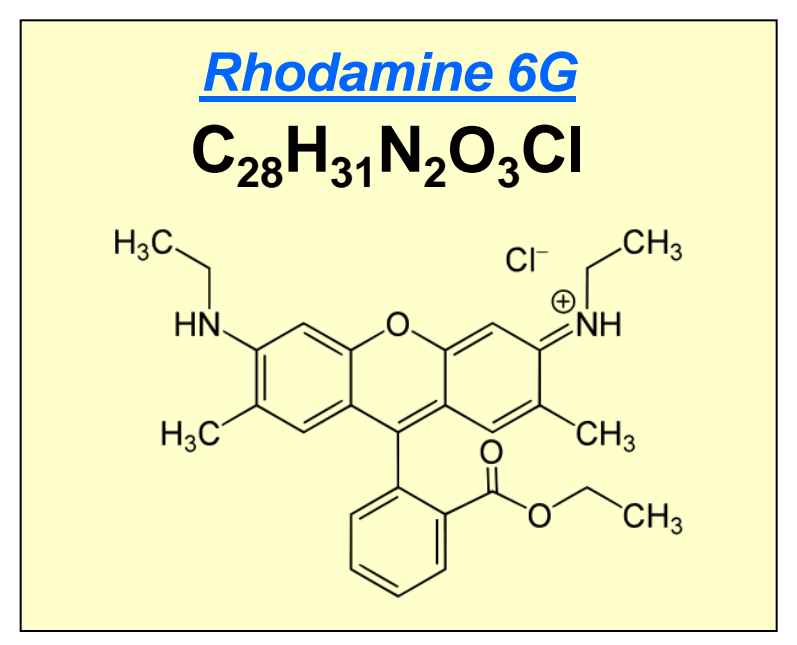




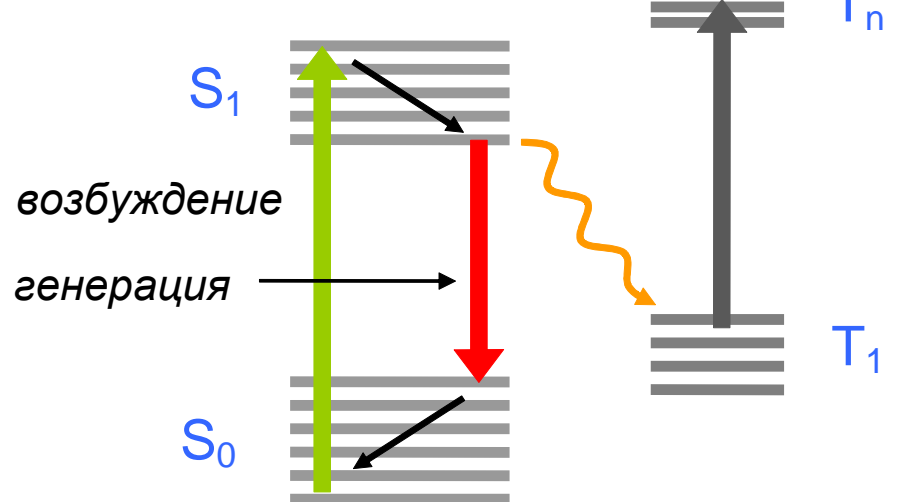
#### **Модуляторы**:

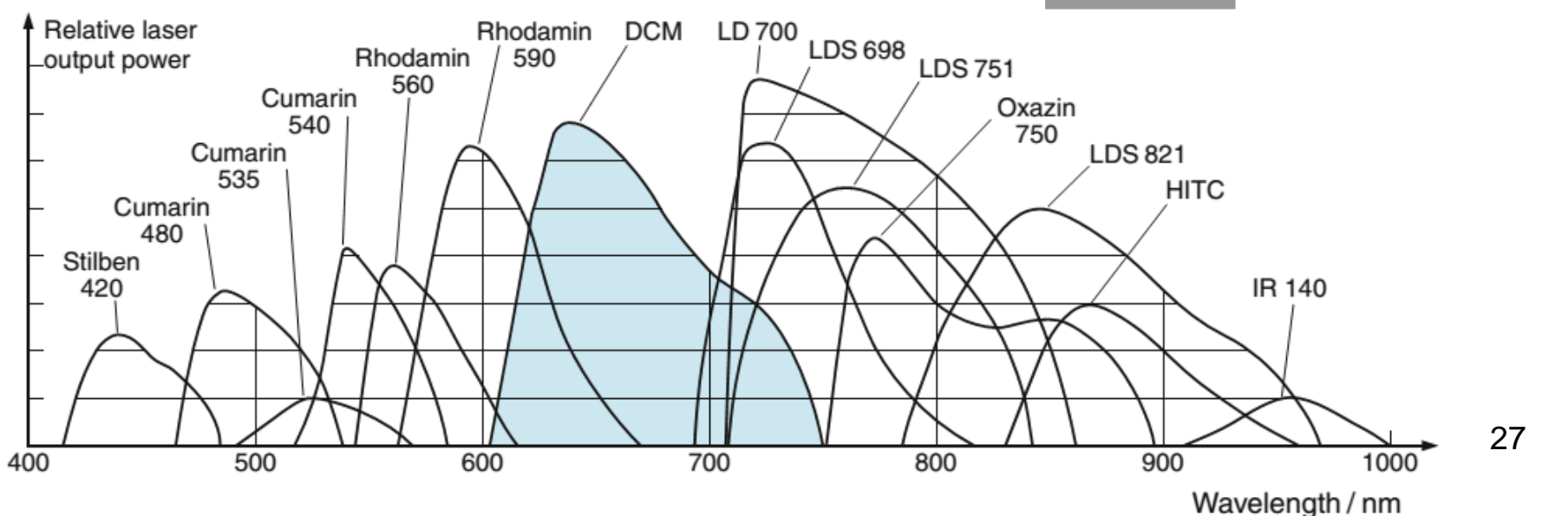
Механическая система
Электро-оптический затвор
Акусто-оптический затвор
Насыщающийся поглотитель

# ПЕРЕСТРАИВАЕМЫЕ ЛАЗЕРЫ НА РАСТВОРАХ ОРГАНИЧЕСКИХ КРАСИТЕЛЕЙ



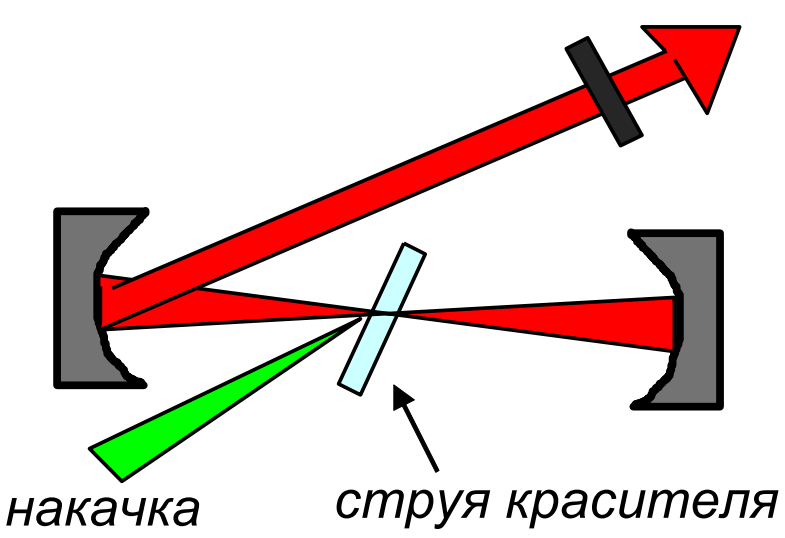
#### Структура уровней





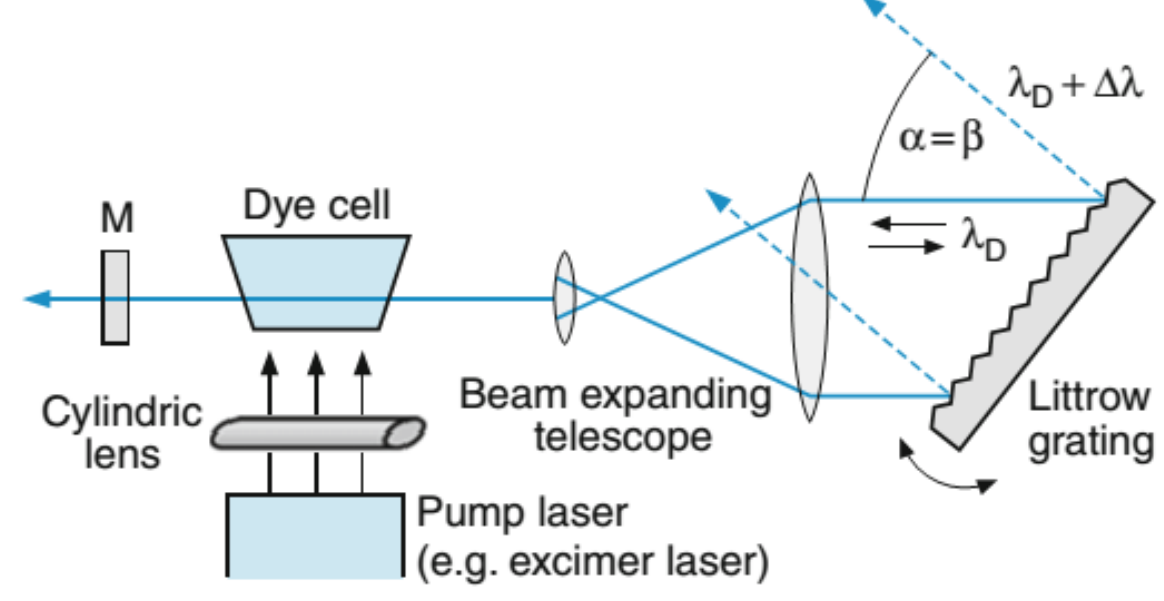
# <u>Линия усиления</u> P<sub>г</sub> Rhodamine 6G 540 600 λ, нм

# Схема резонатора

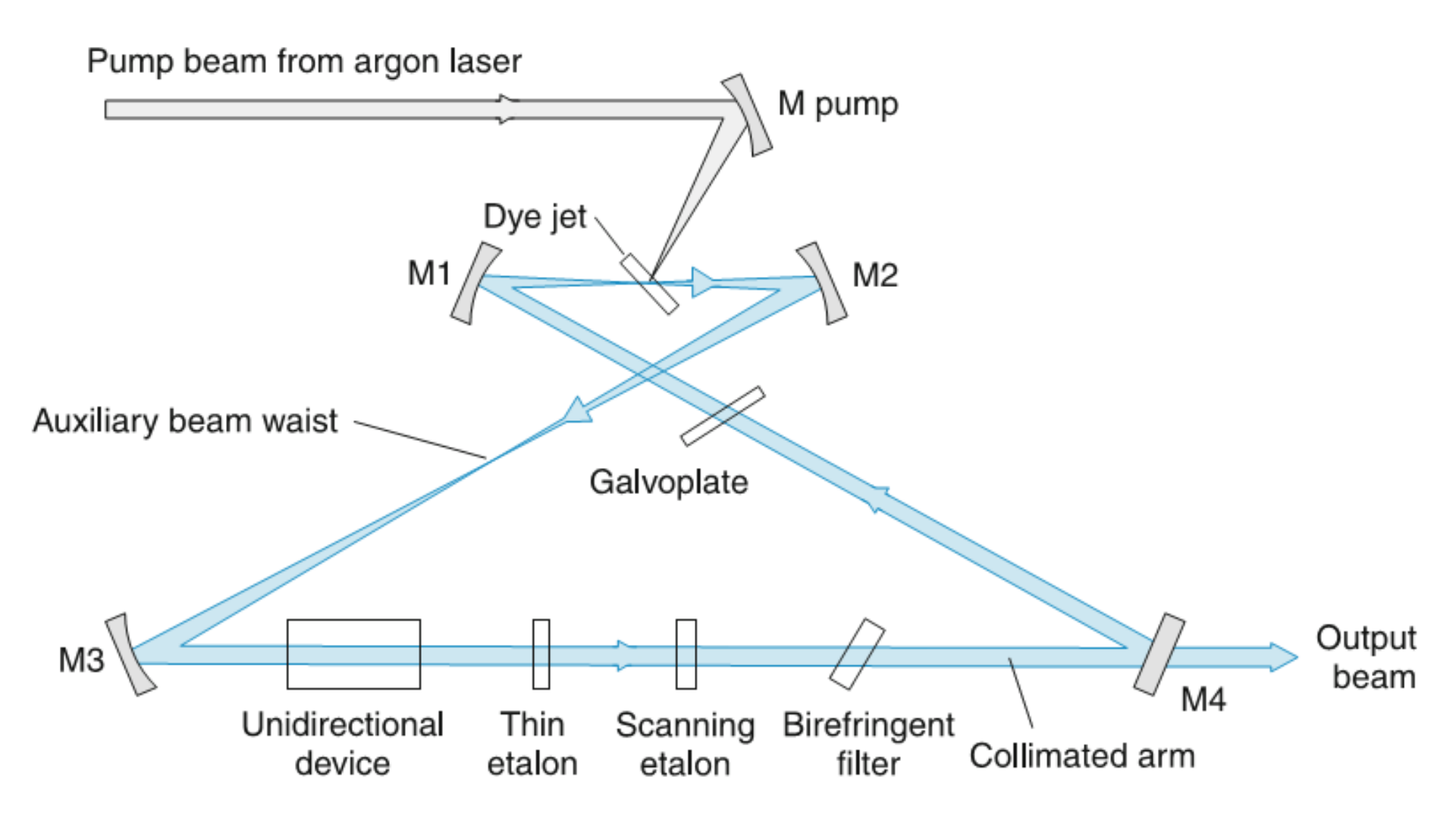


#### Оптическая накачка

- Ламповая
- Рубиновый лазер
- YAG:Nd³+ лазер и его гармоники
- N<sub>2</sub>-лазер
- XeCI , KzF , ArF эксимерные лазеры
- Ar+ , Kr+ лазеры

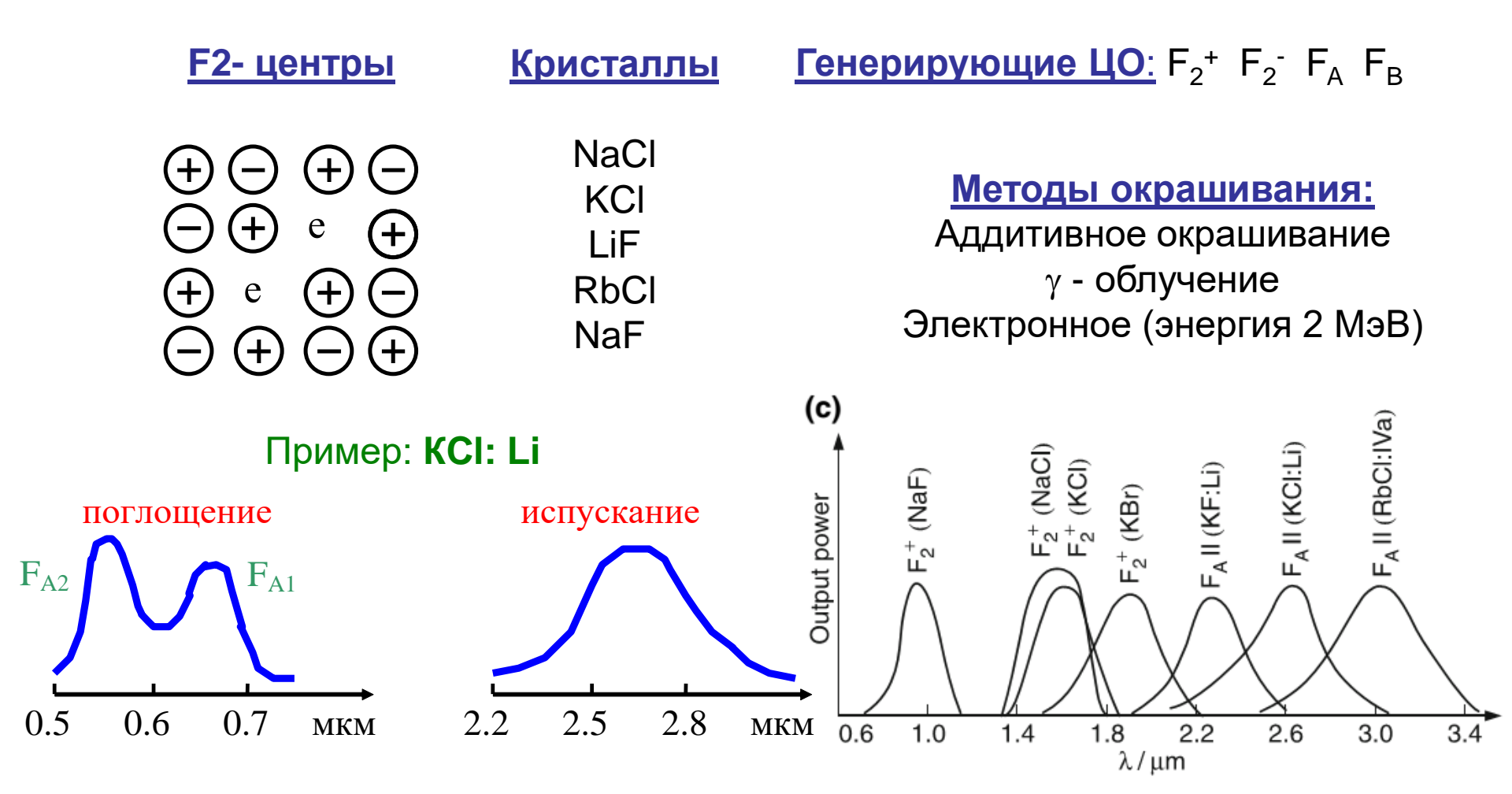


## Одночастотный кольцевой лазер на красителе



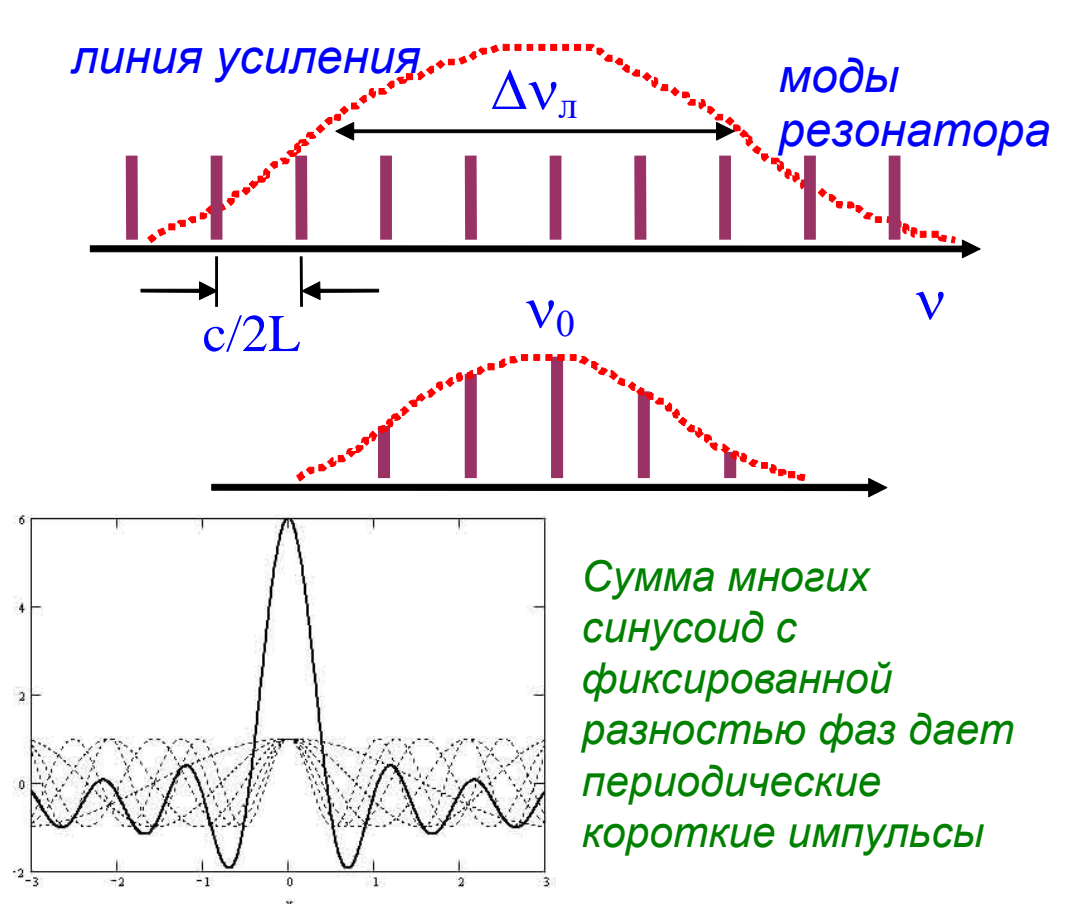
#### ПЕРЕСТРАИВАЕМЫЕ ЛАЗЕРЫ НА ЦЕНТРАХ ОКРАСКИ (ЦО) В ЩЕЛОЧНО-ГАЛОИДНЫХ КРИСТАЛЛАХ

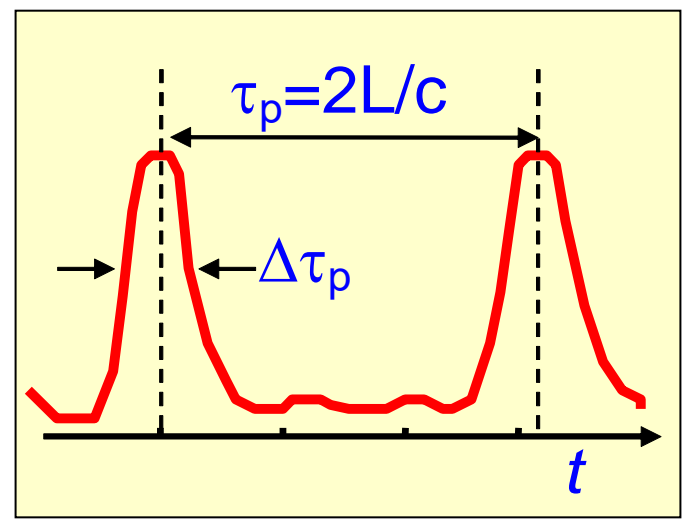
**ЦО - точечные дефекты** в кристаллах, связанные с **анионными вакансиями**. **F-центр** - вакансия, захватившая электрон



## ГЕНЕРАЦИЯ СВЕРХКОРОТКИХ ИМПУЛЬСОВ СВЕТА

#### <u>Метод синхронизации мод</u>





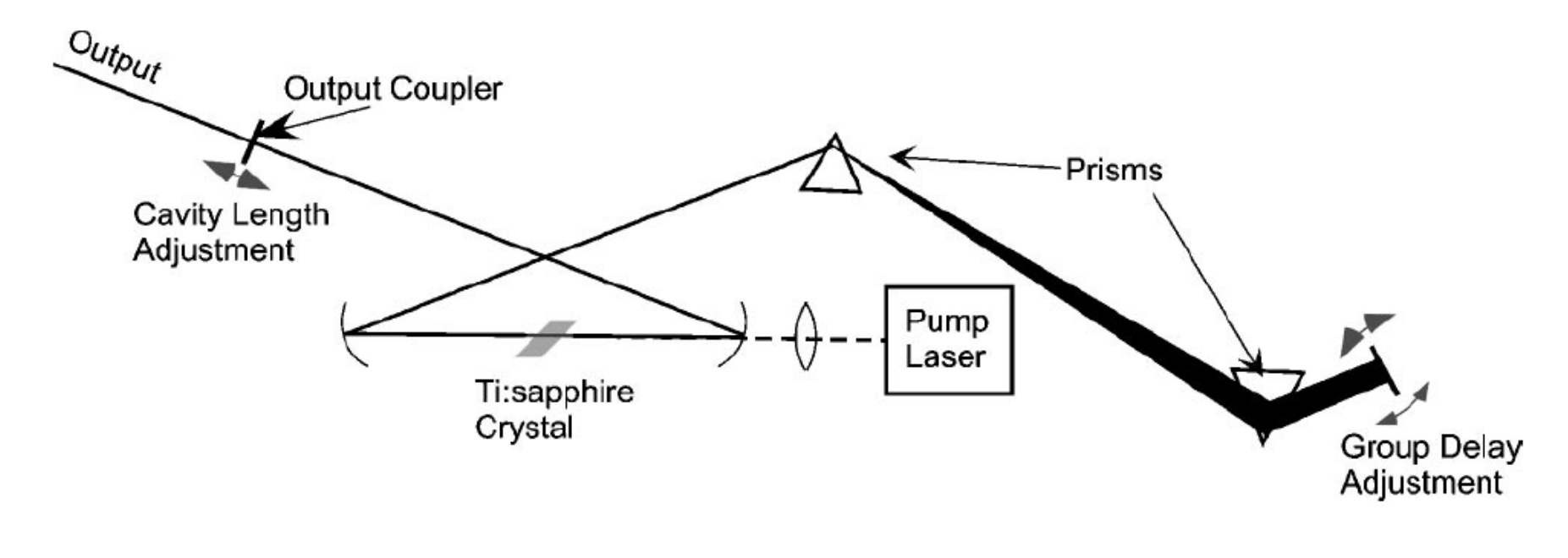
Частота  $v = 1/\tau_p = c/2L$ Длительность  $\Delta \tau_p = 1/\Delta v_n$  $50 \ \phi c - 100 \ \pi c$ 

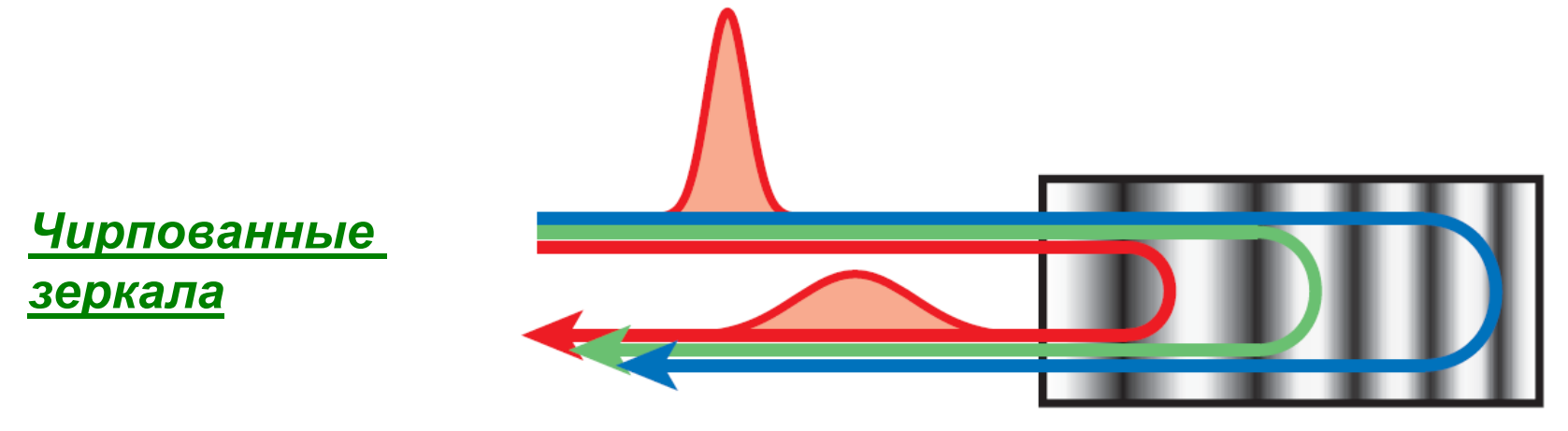
#### Техника синхронизации мод

Активная с помощью акустооптических и электрооптических модуляторов Пассивная с помощью насыщающихся поглотителей Пассивная с помощью линзы Керра (в твердотельных лазерах)

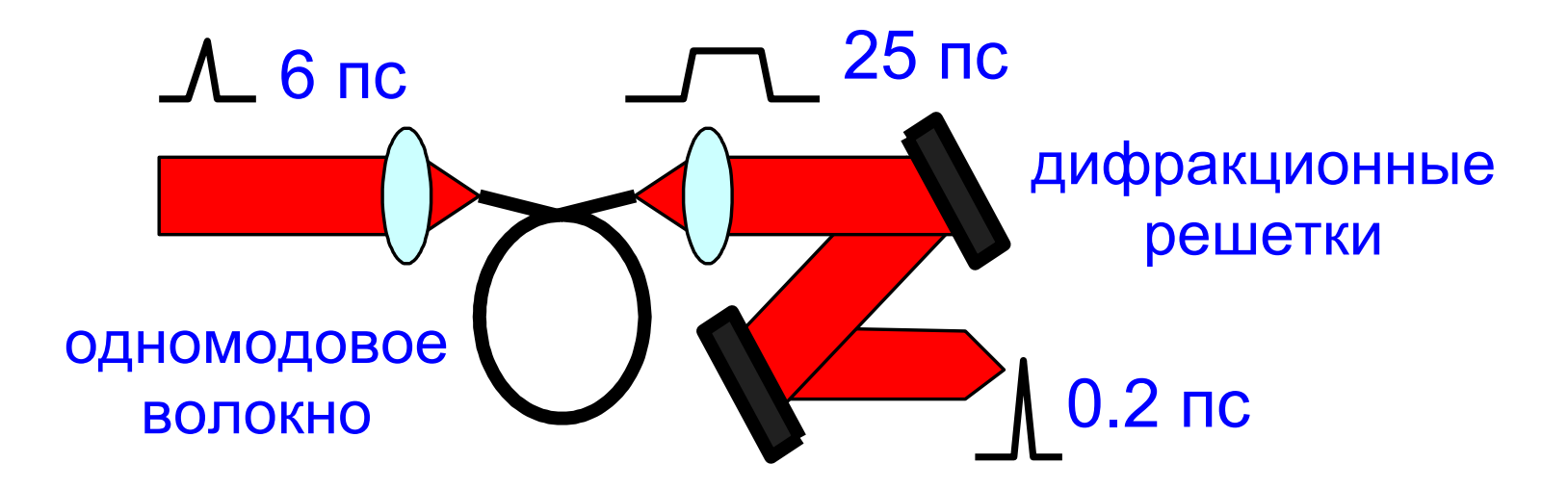
# ГЕНЕРАЦИЯ СВЕРХКОРОТКИХ ИМПУЛЬСОВ СВЕТА

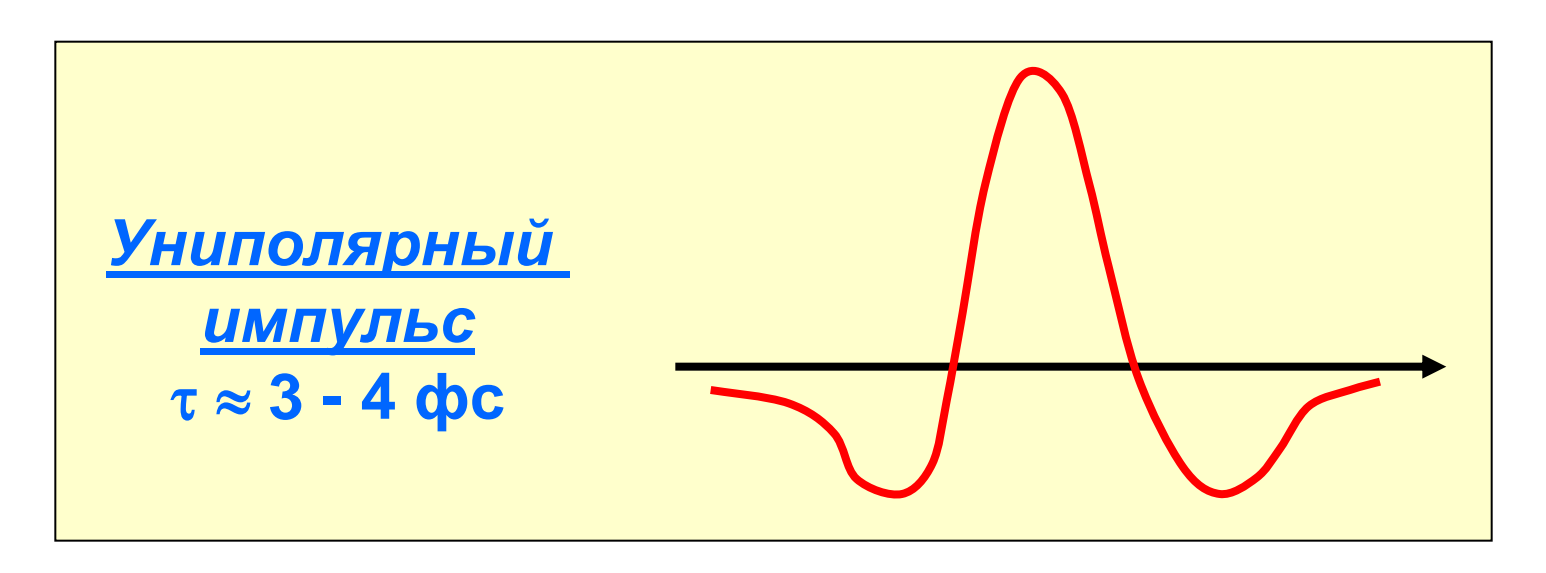
#### Титан-сапфировый лазер с линзой Керра



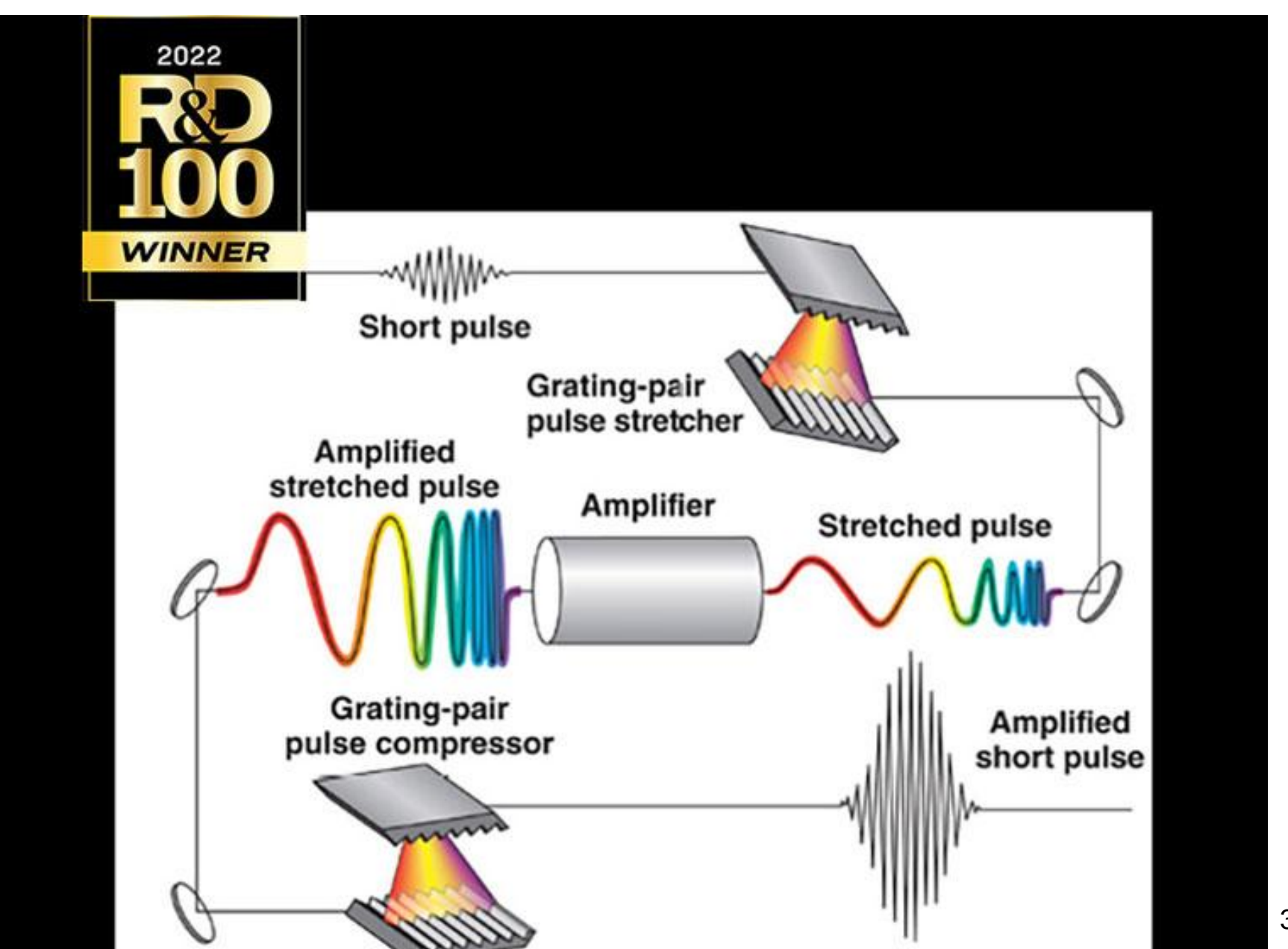


# Сжатие импульсов света

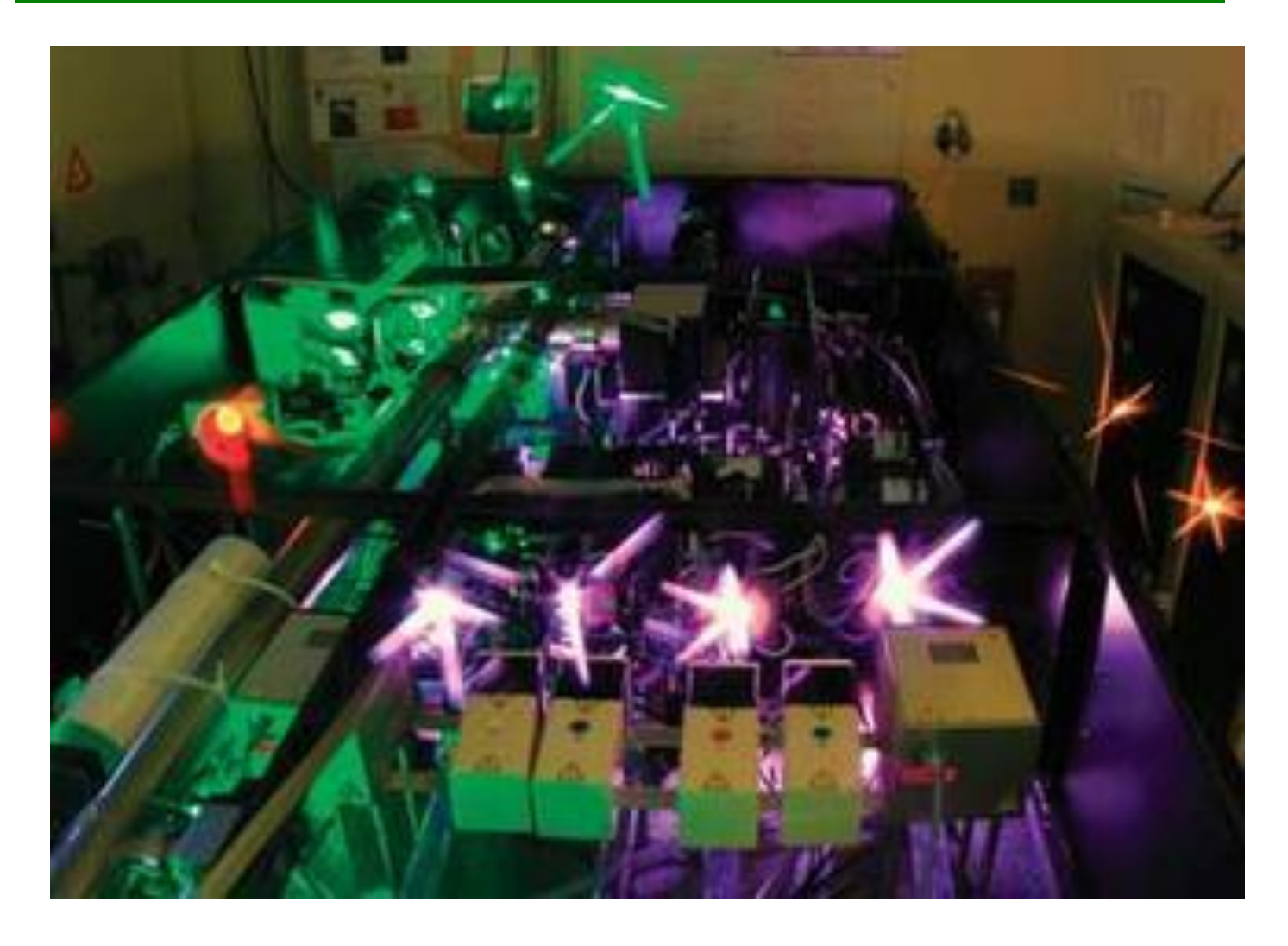




# Усиление сверхкоротких импульсов света



# Усиление сверхкоротких импульсов света



Hercules:  $P \sim 300 \text{ TBT}$   $\tau \sim 30 \text{ фc}$   $I \sim 10^{22} \text{ BT/cm}^2$ 

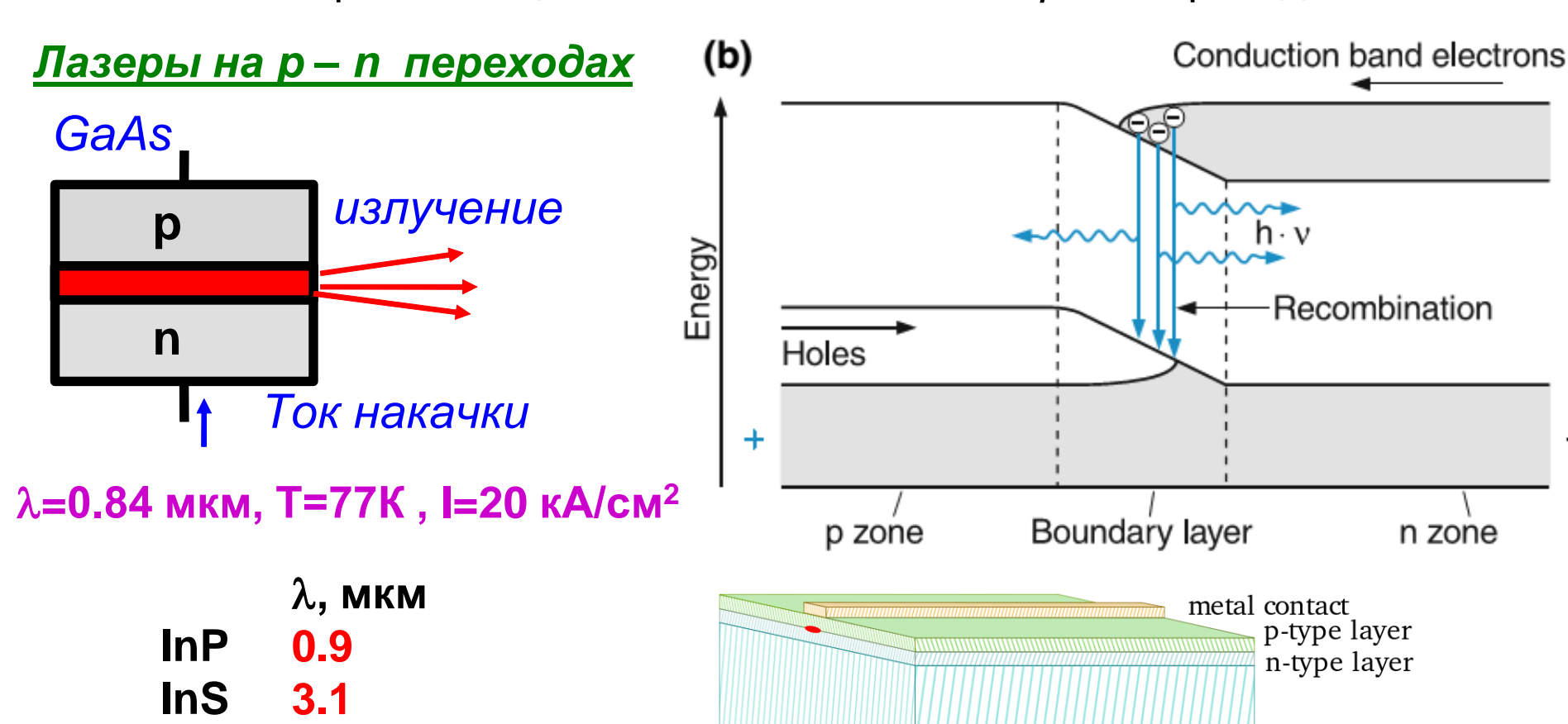
### ПОЛУПРОВОДНИКОВЫЕ ЛАЗЕРЫ

**Рекомбинационное излучение** (электроны и дырки) при инжекции носителей в область *p - n* перехода.

n-substrate

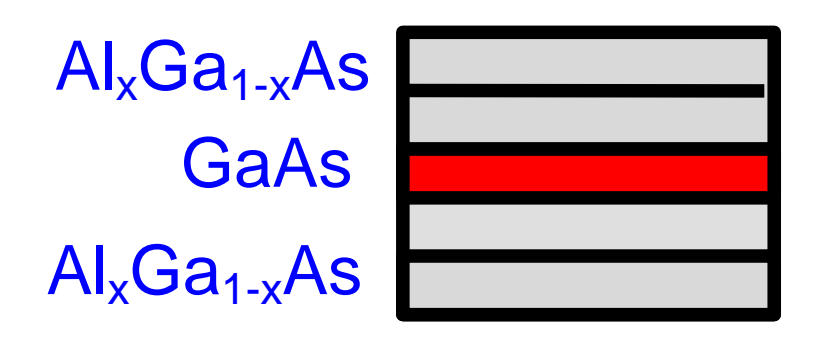
metal contact

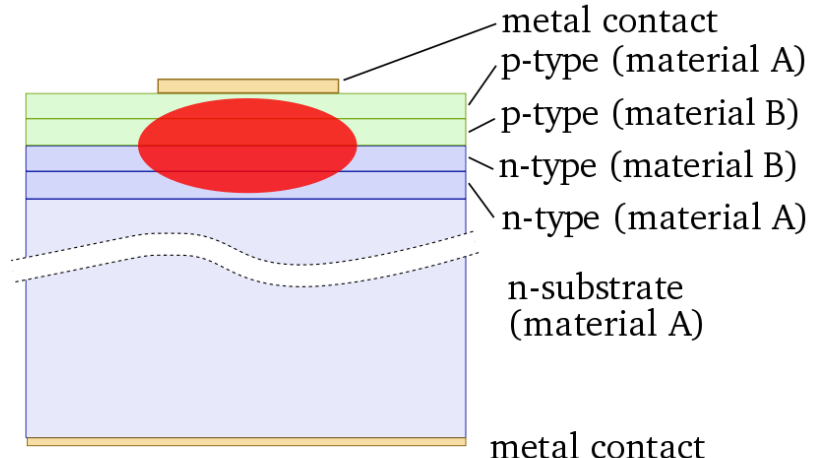
36



GaAs 0.84 GaSb 0.78 PbTe 6.5

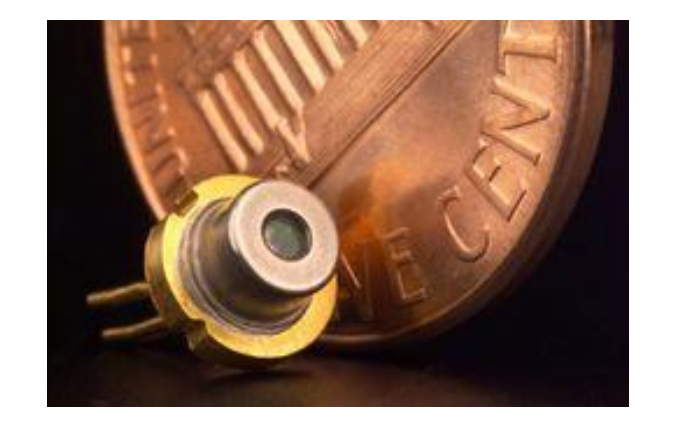
### Лазеры на гетеропереходах

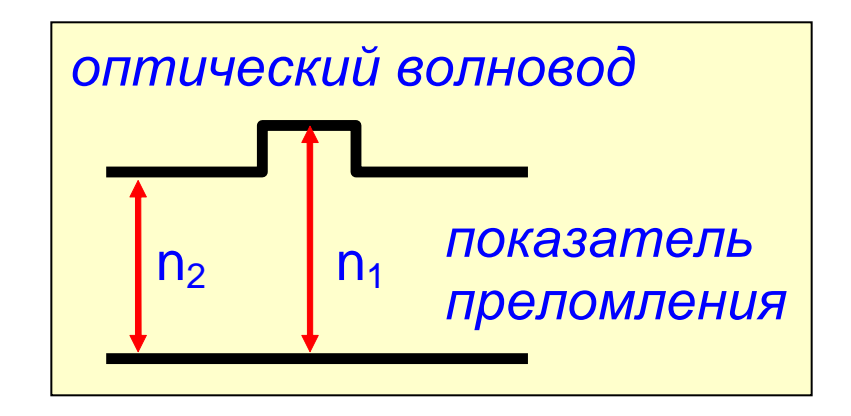




AlGaAs  $\lambda = 0.85 \text{ MKM}$ 

InGaAsP  $\lambda = 0.78-0.8 \text{ MKM}$ 1.3-1.5 MKM

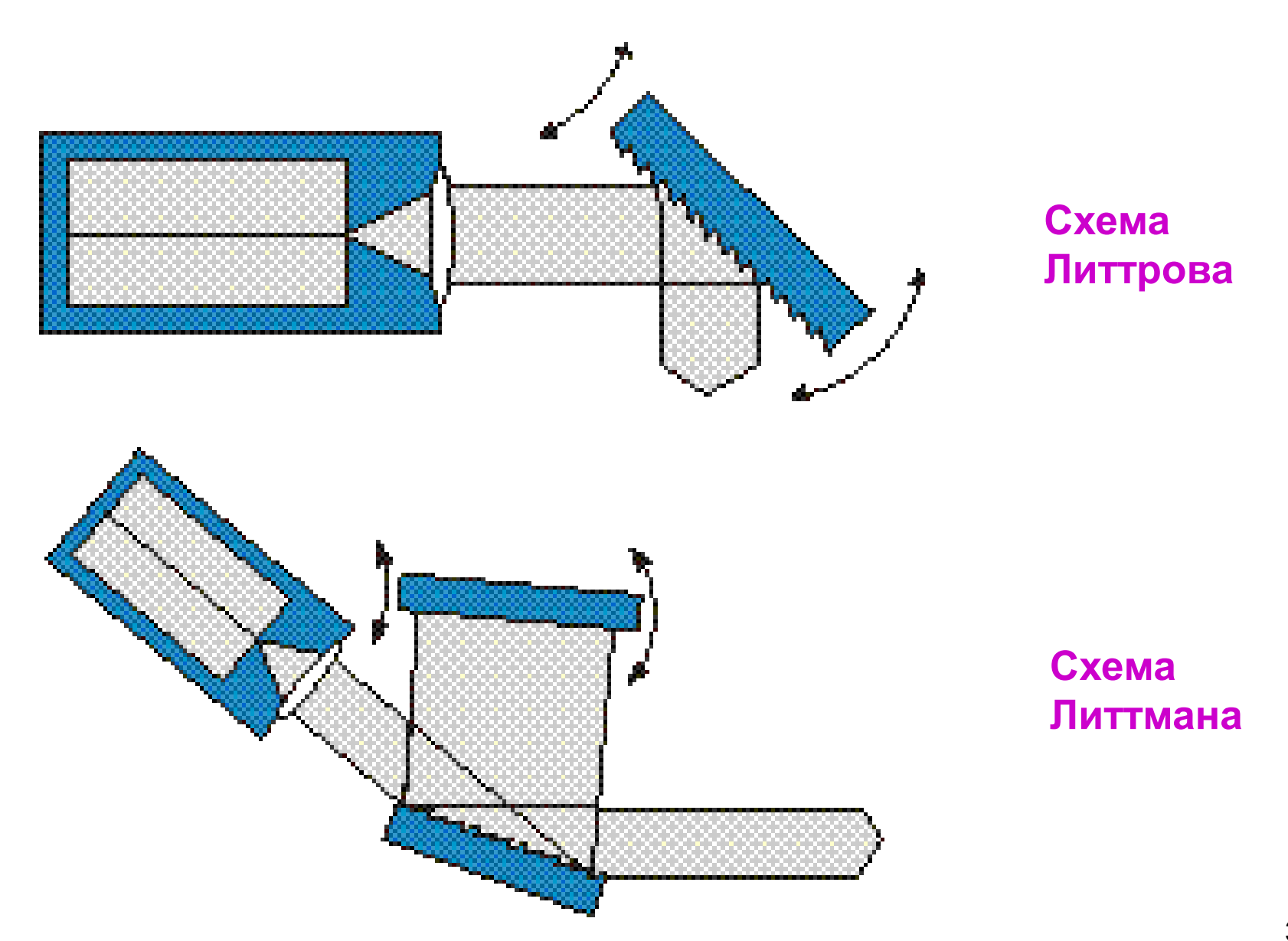




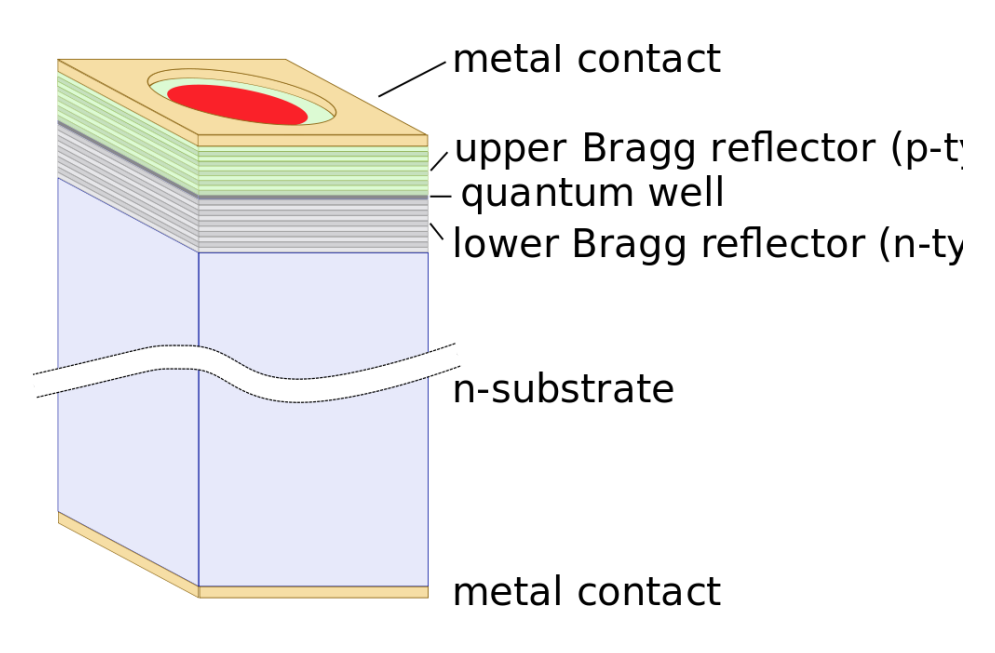
$$I_{\text{nop}} = 20 - 50 \text{ MA}$$

$$P = 5 - 1000 \text{ MBT}$$

### Полупроводниковые лазеры с внешним резонатором



### <u>Лазер с вертикальным</u> <u>резонатором</u>

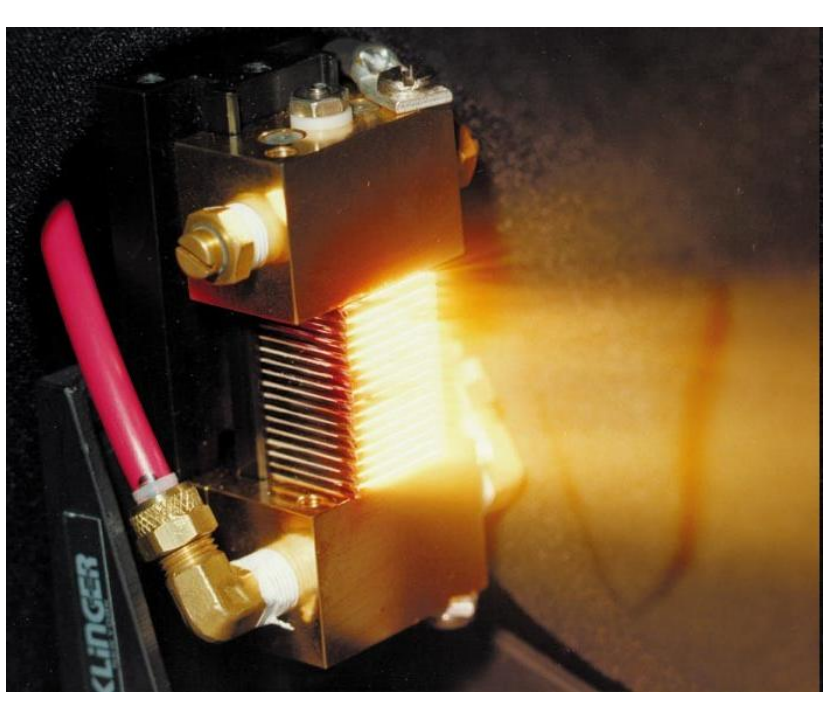


 $I_{\text{nop}} = 20 - 50 \text{ MKA}$ 

P = 50 - 200 MKBT

**F**<sub>mod</sub> до 50 ГГц

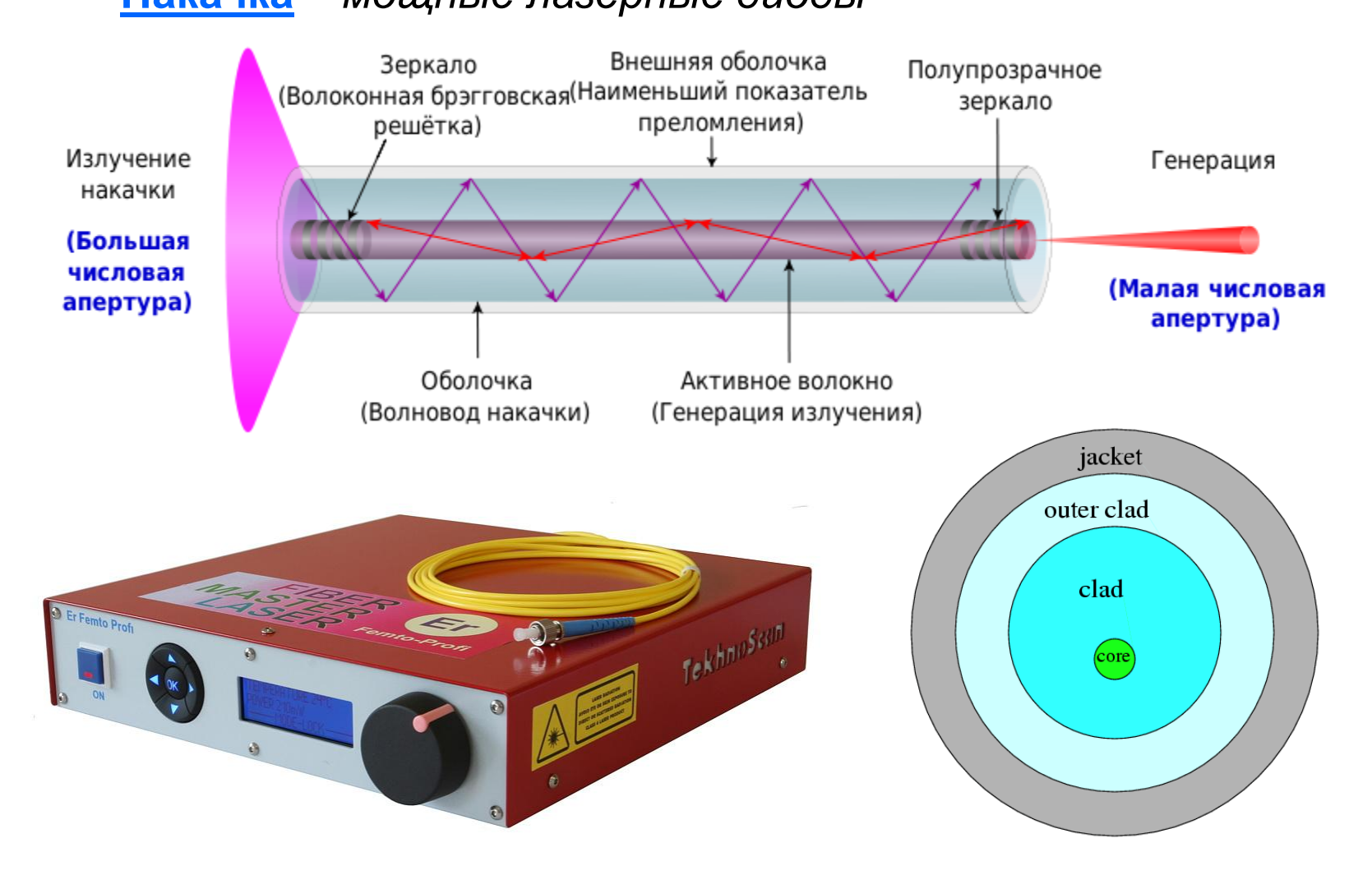
### <u>Линейка лазерных</u> <u>диодов</u>



P = 10 - 1000 BT

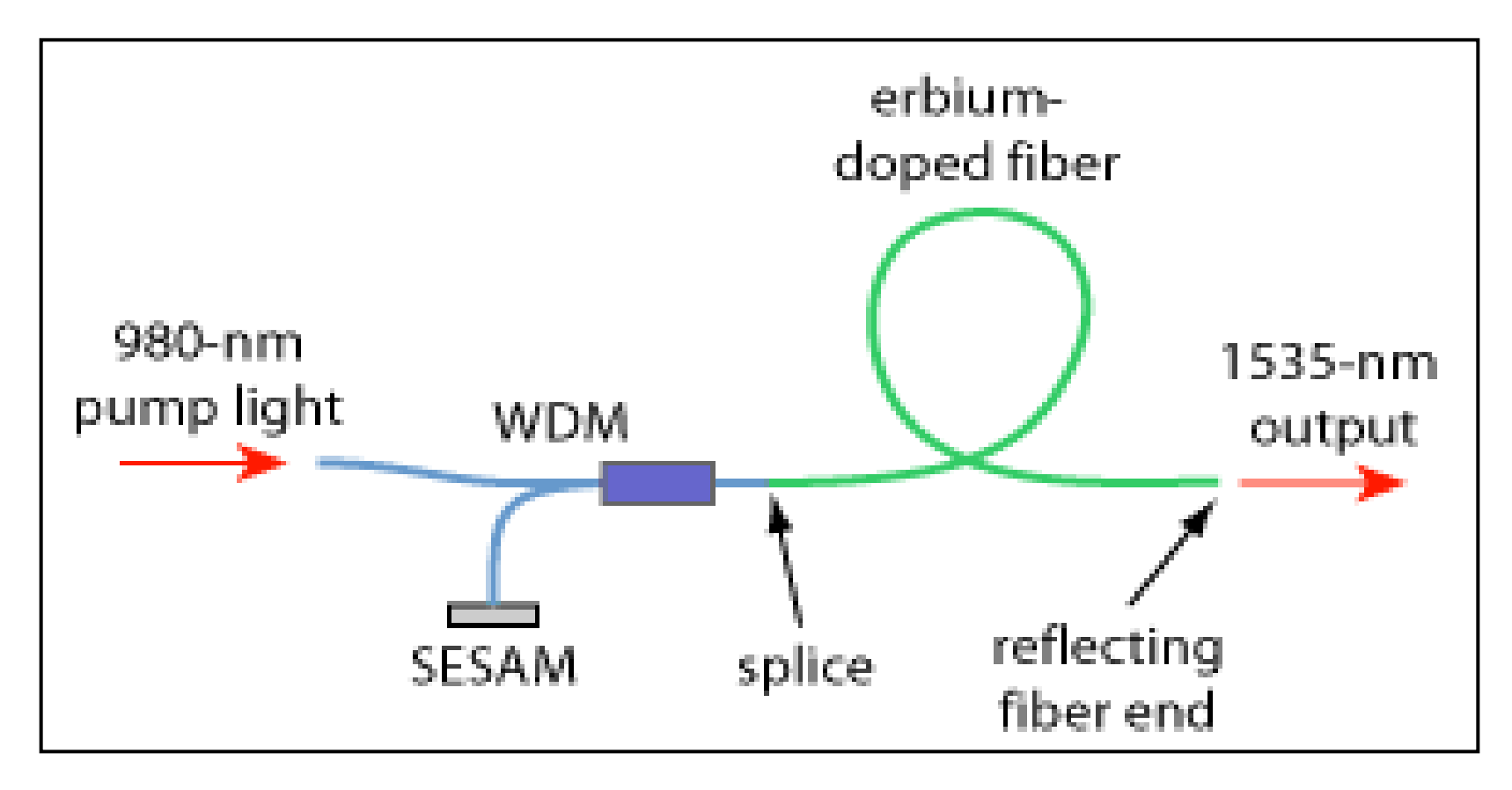
### ОПТОВОЛОКОННЫЕ ЛАЗЕРЫ

Активная среда — оптическое волокно, легированное редкоземельными ионами Er³+, Nd³+, Yb³+, Tm³+, Pr³+ Накачка — мощные лазерные диоды



### ОПТОВОЛОКОННЫЕ ЛАЗЕРЫ

Активная среда — оптическое волокно, легированное редкоземельными ионами Er³+, Nd³+, Yb³+, Tm³+, Pr³+ Накачка — мощные лазерные диоды



$$\lambda = 1 - 2 \text{ MKM}$$

# РЕНТГЕНОВСКИЙ ЛАЗЕР. ЛАЗЕРЫ С ЯДЕРНОЙ НАКАЧКОЙ.

### Проблемы генерации коротковолнового излучения:

1.Коэффициент усиления

$$\alpha_0 \sim \lambda^3 Q_2$$

Уменьшение длины волны должно сопровождаться увеличением скорости накачки:

 $\lambda \cong 10 \text{ A}$   $\alpha_0 \sim 1 \text{ cm}^{-1}$   $Q_2 \cong 10^{21} \text{ at/c}$ 

2.Проблема зеркал

### Активная среда:

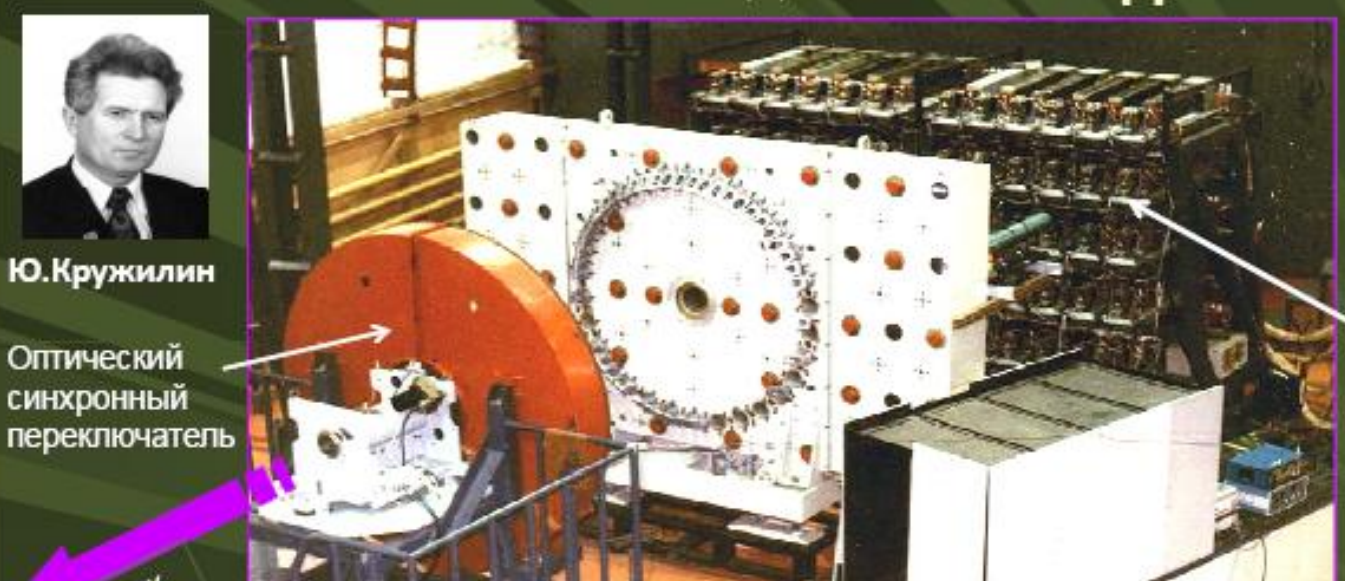
• Лазерная плазма

E ~  $10^{13}$  Дж  $\tau$  ~ 1 нс W ~  $5.10^{13}$  Вт/см <sup>2</sup>

Se XXIV  $\lambda = 203 \text{ µ } 209 \text{ A} \qquad \alpha \sim 700$ 

• Плотный газ с накачкой продуктами ядерного взрыва

# Экспериментальная лазерная установка на стекле с неодимом "Тандем"





Ю.Калинин

60 лазерных модулей



Выходной

ту Первая в мире лазерная установка на неодимовом стекле со СРЕДНЕЙ мощностью ≥ 100 KBT (2-3 сек)

- Энергия импульса каждого канала 1,5
   2 КДж
- Лазеры «стреляют» поочередно по общей оси и переключаются вращающимся синхронизированным оптическим коммутатором.
  - Частота повторения импульсов 100 Гц
  - Средняя мощность излучения ~ 150 КВт в течение 2-3 сек.
  - Питание от промышленной сети- 6 KB 10 MBт 50 Гц без накопителя
  - Создана ЦКБ "Астрофизика", и Лазерным центром "Радуга" 1982







High Energy Laser Mobile Demonstrator - HEL MD мощностью 10 кВт

## МЕТОДЫ ПРЕОБРАЗОВАНИЯ ЧАСТОТЫ ЛАЗЕРНОГО ИЗЛУЧЕНИЯ

1. Генерация оптических гармоник 
$$\mathbf{P}(t) = \varepsilon_0 [\chi^{(1)} \mathbf{E}(t) + \chi^{(2)} \mathbf{E}^2(t) + \chi^{(3)} \mathbf{E}^3(t) + ...].$$

- а) в нелинейно-оптических кристаллах LiNbO<sub>3</sub>, LiJO<sub>3</sub>, KDP, KTP, BBO
- б) в плотных газах и парах металлов гармоники высокого порядка k~40

$$E_{2\omega} \sim E_{\omega}^2 \frac{\sin(\Delta k \ L/2)}{\Delta k \ L/2},$$

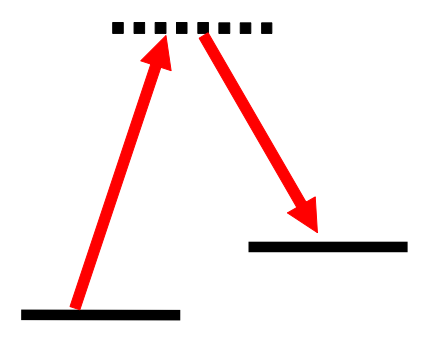
$$I_{n\omega} \sim I_{\omega}^{n}$$

### 2. Генерация суммарных и разностных частот

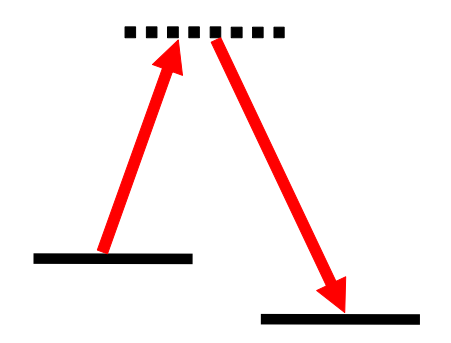
### 3. Вынужденное комбинационное рассеяние

 $H_2$  и  $N_2$  при высоком давлении

а) Стоксово рассеяние



б) Антистоксово рассеяние



### ПРЕДЕЛЬНЫЕ ПАРАМЕТРЫ ЛАЗЕРОВ

**Длина волны** 

**Монохроматичность** 

Воспроизводимость частоты

Непрерывная мощность

Импульсная мощность

Энергия в импульсе

Длительность импульса

Частота следования импульсов

КПД

 $\lambda$ =100 HM - 2 MM

 $\Delta v/v \sim 10^{-16}$  (твердотель. лазеры)

2·10 <sup>-16</sup> (твердотель. лазеры)

10 <sup>5</sup> - 10 <sup>6</sup> Вт (CO<sub>2</sub> лазер)

10<sup>14</sup> Вт (YAG:Nd лазер)

10<sup>5</sup> Дж (YAG:Nd лазер)

3·10 <sup>-15</sup> с (Al<sub>2</sub>O<sub>3</sub>:Ti<sup>3+</sup> лазер)

50 ГГц (ЛВР)

70% (полупроводниковые лазеры)

> 100% (химические лазеры)





# National Ignition Facility (Ливермор, США)

### Неодимовый лазер

- 192 лазерных луча
- мощность 500 ТВт
- энергия 2.03 МДж (08.2012)
- на мишени 1.875 МДж
- длительность 3-4 нс.
- лучи 40х40 см
- 3<sub>0</sub> (0.35 мкм)
- повторяемость канала <1%

Статус: 29 мая 2009 г. введён в эксплуатацию,

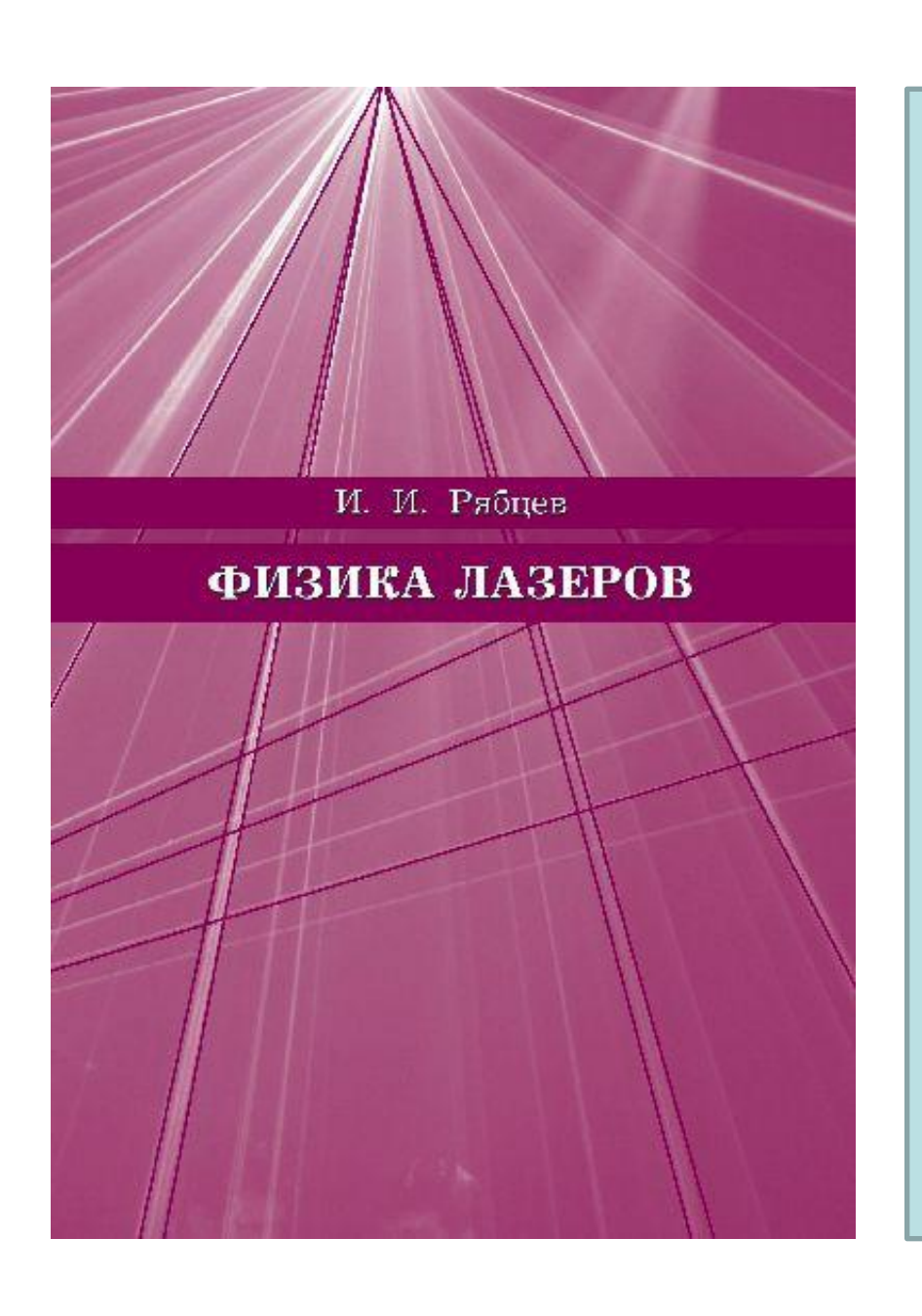
Эксперименты с мишенью: 6 октября 2010 г. – 1 МДж, криогенная мишень

03 апреля 2014 — получено 26 кДж т/ядерной энергии

стоимость ~4 G\$

копировано из GoogleEarth





### МИНИСТЕРСТВО ОБРАЗОВАНИЯ И НАУКИ РФ ПОВОСИБИРСКИЙ ГОСУДАРСТВЕННЫЙ УНИВЕРСИТЕТ ФИЗИЧЕСКИЙ ФАКУЛЬТЕТ Кафедра облей физика

И. И. Рябиев

### ФИЗИКА ЛАЗЕРОВ

Учебное пособие

Издание второс

Новосибирск 2016